

Symulacje Raport końcowy

Kinga Heda, Bartosz Łuksza i Karol Cieślik

Raport

Spis treści

1 Wstęp.	iii
2 Zad 1.	iii
2.1 Wstęp	iii
2.2 Implementacja generatora ACORN	iii
2.3 Wykresy	iv
2.4 Wydajność generatora	vii
2.5 Wnioski	viii
3 Zad 2.	ix
3.1 Wstęp.	ix
3.2 Opis i implementacja generatorów.	ix
3.2.1 Generator Boxa - Mullera	ix
3.2.2 Generator Marsaglii	ix
3.2.3 Generator Tuzin	x
3.2.4 Generator Zigguratu	xi
3.3 Poprawność metod.	xiv
3.4 Wydajność metod.	xvi
3.5 Wnioski.	xviii
4 Zad 3.	xviii
4.1 Wstęp.	xix

4.2	Opis Metod.	xix
4.3	Metoda Monte Carlo.	xix
4.4	Skrypt W pythonie.	xx
4.5	Wnioski.	xxvii
5	Zad 4.	xxviii
5.1	Wstęp	xxviii
5.2	Część pierwsza	xxviii
5.3	Część druga	xxx
5.4	Część trzecia	xxxv
5.5	Wnioski	xxxviii
5.5.1	Część pierwsza	xxxviii
5.5.2	Część druga	xxxix
5.5.3	Część trzecia	xxxix
6	Zad 5.	xxxix
6.1	Wstęp	xxxix
6.2	Część pierwsza	xl
6.3	Część druga	xlvi
6.4	Część trzecia	xlix
6.5	Wnioski	liv
6.5.1	Część pierwsza	liv
6.5.2	Część druga	lv
6.5.3	Część trzecia	lv
7	Zad 6.	lvi
7.1	Wstęp.	lvi
7.2	Proces Wienera.	lvi
7.3	Opis Metod.	lvii
7.4	Sktypty w Pythonie.	lviii
7.5	Wnioski.	lxii

1 Wstęp.

Niniejsze sprawozdanie zbierze poznane metody symulacyjne poznane na kursie. Całość symulacyjna była wykonana w Pythonie.

Wykorzystane narzędzia:

```
import numpy as np
import matplotlib.pyplot as plt
from scipy.stats import arcsine
import time
```

2 Zad 1.

2.1 Wstęp

Generator ACORN (Additive Congruential Random Number) to algorytm służący do generowania ciągów liczb pseudolosowych. Oparty jest na ciągach liczbowych zdefiniowanych poprzez równania rekurencyjne:

$$X_n^0 = X_{n-1}^0, \quad n \geq 1$$
$$X_n^m = (X_n^{m-1} + X_{n-1}^m) \mod M, \quad m = 1, \dots, k, \quad n \geq 1$$
$$Y_n^k = \frac{X_n^k}{M}, \quad n \geq 1$$

2.2 Implementacja generatora ACORN

```
1 def ACORN(N: int, k: int, M: int, Lag: int, seed: int = (2**13) - 1)
2     -> np.array:
3     """Funkcja generuje N pr bek z generatora ACORN
4
5     Args:
6         N: liczba generowanych zmiennych
7         k: rz d algorytmu
8         M: dzielnik
9         Lag: op nienie w działaniu algorytmu
10
11     Returns:
```

```
11         tuple: list Ż N pr bek z generatora ACORN
12
13     Example:
14         >>> ACORN(1, 9, 2**30 - 1, 1000)
15         array([0.7813808])
16
17     """
18     X = np.zeros((k, N + Lag))
19
20     X[:, 0] = seed
21     X[0, 1:] = seed
22
23     for i in range(1, k):
24         for j in range(1, N + Lag):
25             X[i, j] = (X[i - 1, j] + X[i, j - 1]) % M
26
27     Y = (X[k - 1, Lag : Lag + N]) / M
28
29     return Y
30
31
32 # Parametry
33 N = 1000
34 k = 9
35 M = 2**30 - 1
36 Lag = 10**3
37
38 Y_ACORN = ACORN(N, k, M, Lag)
```

Listing 1: Implementacja generatora ACORN

2.3 Wykresy

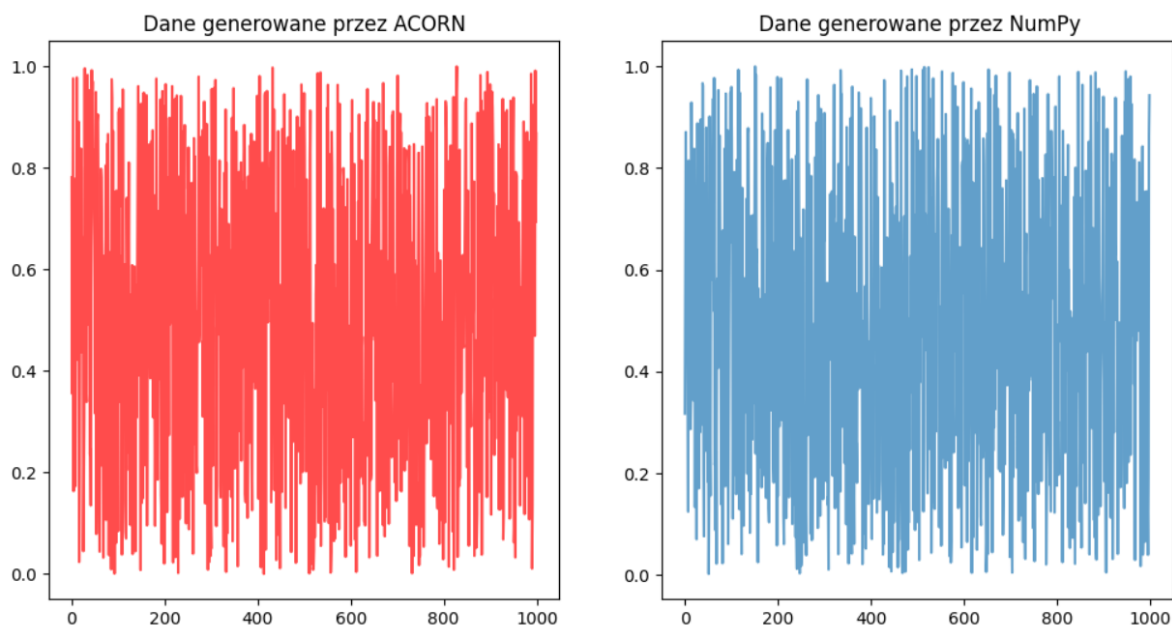
Dla sprawdzenia poprawności zaimplementowanego algorytmu porównujemy go do wbudowanego w python generatora liczb pseudolosowych z biblioteki numpy.

```
1 Y_numpy = [np.random.uniform(0, 1) for i in range(N)]
2
3 plt.figure(figsize=(12, 6))
4 plt.subplot(1, 2, 1)
5 plt.plot(Y_ACORN, color="r", alpha=0.7)
6 plt.title("Dane generowane przez ACORN")
7 plt.subplot(1, 2, 2)
8 plt.plot(Y_numpy, alpha=0.7)
9 plt.title("Dane generowane przez NumPy")
10 plt.show()
11
```

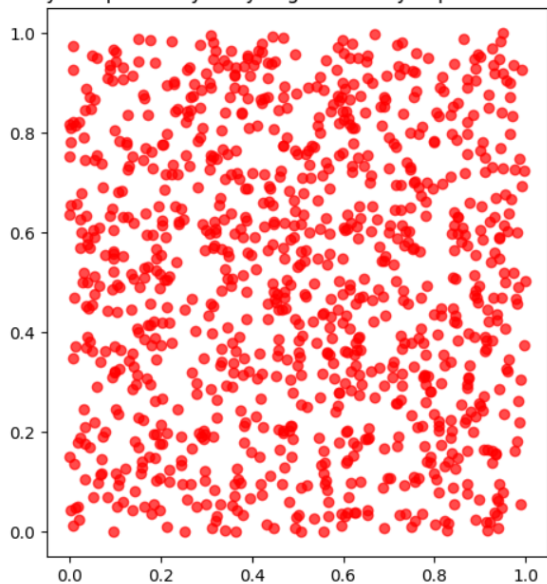
```
12 plt.figure(figsize=(12, 6))
13 plt.subplot(1, 2, 1)
14 plt.scatter(Y_ACORN[:-1], Y_ACORN[1:], color="r", alpha=0.7)
15 plt.title("Wykres punktowy danych generowanych przez ACORN")
16 plt.subplot(1, 2, 2)
17 plt.scatter(Y_numpy[:-1], Y_numpy[1:], alpha=0.7)
18 plt.title("Wykres punktowy danych generowanych przez NumPy")
19 plt.show()

20
21 plt.figure(figsize=(12, 6))
22 plt.subplot(1, 2, 1)
23 plt.hist(Y_ACORN, bins=20, density=True, alpha=0.7, color="r")
24 plt.title("Histogram zmiennych z ACORN")
25 plt.subplot(1, 2, 2)
26 plt.hist(Y_numpy, bins=20, density=True, alpha=0.7)
27 plt.title("Histogram zmiennych z NumPy")
```

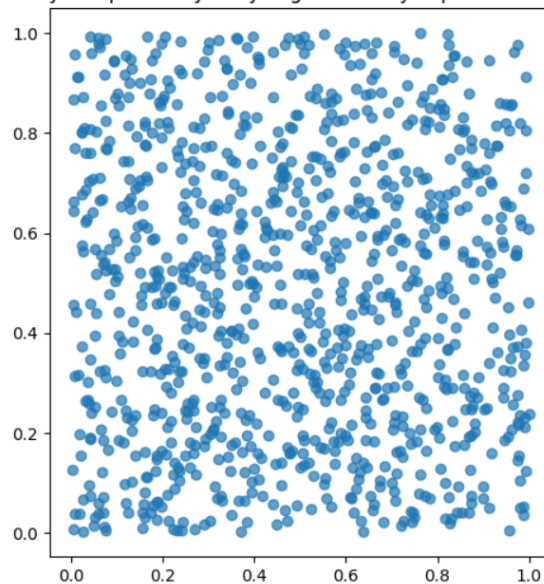
Listing 2: Sprawdzenie podobieństw Generatora ACORN i NumPy



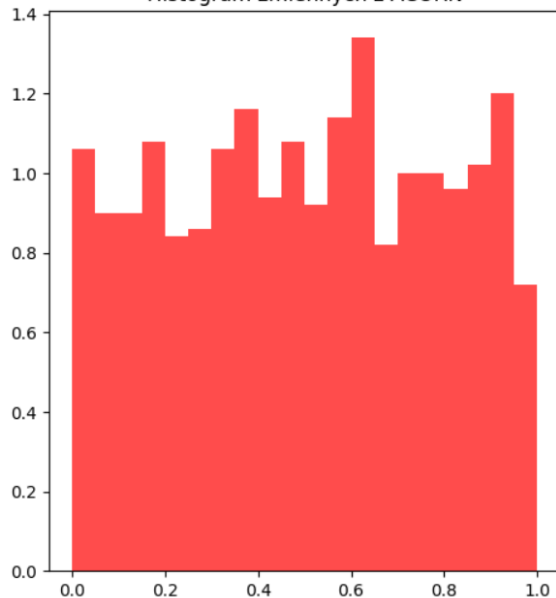
Wykres punktowy danych generowanych przez ACORN



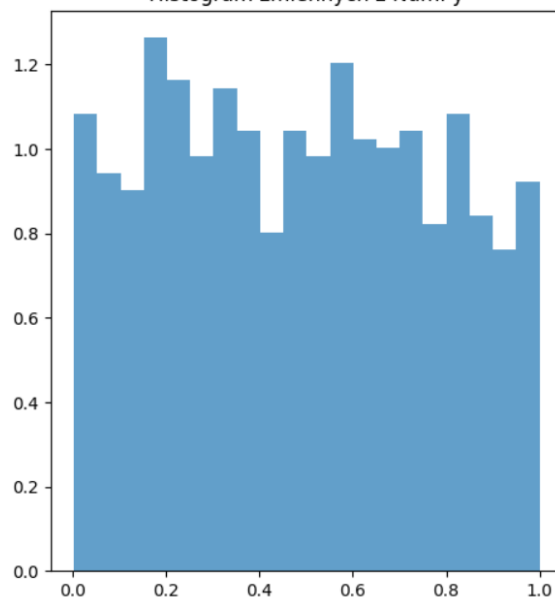
Wykres punktowy danych generowanych przez NumPy



Histogram zmiennych z ACORN



Histogram zmiennych z NumPy

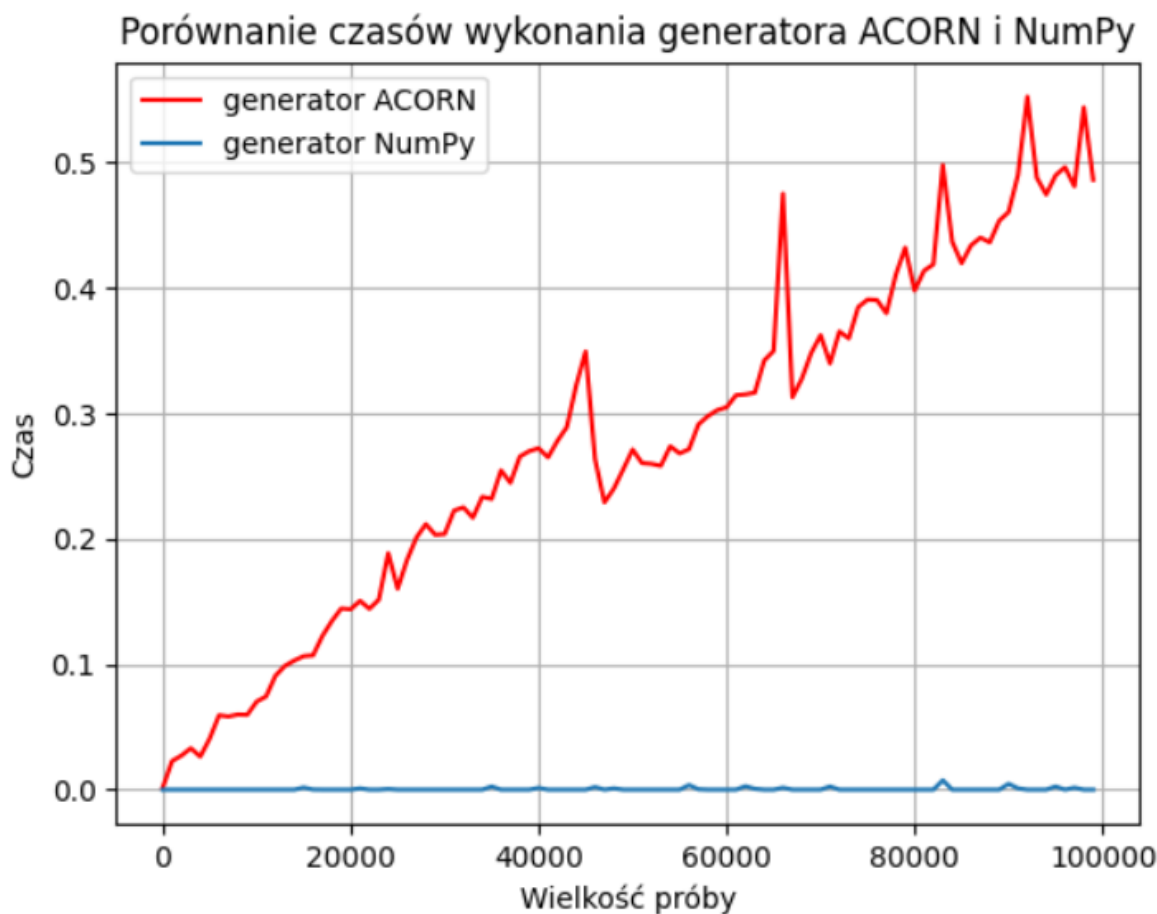


2.4 Wydajność generatora

Porównujemy czas symulacji zaimplementowanego generatora z wbudowanym generatorem ACORN badając go dla różnego rozmiaru próbek.

```
1 N = np.arange(0, 100000, 1000)
2
3 acorn_times = []
4 numpy_times = []
5
6 for n in N:
7     start = time.time()
8     ACORN(n, k, M, Lag)
9     t = time.time() - start
10    acorn_times.append(t)
11
12 for n in N:
13     start = time.time()
14     np.random.uniform(0, 1, n)
15     t = time.time() - start
16     numpy_times.append(t)
17
18 plt.plot(N, acorn_times, color="r", label="generator_ACORN")
19 plt.plot(N, numpy_times, label="generator_Numpy")
20 plt.title("Porównanie_czas_wykonania_generatora_ACORN_i_Numpy")
21 plt.xlabel("Wielkość próby")
22 plt.ylabel("Czas")
23 plt.legend()
24 plt.grid()
25 plt.show()
```

Listing 3: Badanie wydajności generatora ACORN.



2.5 Wnioski

Na podstawie wygenerowanych wykresów można stwierdzić, że oba generatory liczb losowych mają dobre właściwości statystyczne. Wykresy punktowe dla obu generatorów pokazują równomierne rozmieszczenie punktów, co sugeruje niezależność generowanych wartości. Analizując rozkład jednostajny $U(0,1)$, zauważamy, że histogramy obu generatorów wykazują równomierne rozłożenie wartości w przedziale od 0 do 1, co potwierdza, że liczby losowe są generowane zgodnie z oczekiwaniami.

Analizując wykres porównania czasów wykonania obu generatorów widzimy, że wraz ze wzrostem wielkości próby wzrasta czas generowania się próbek metodą ACORN, natomiast w bibliotece NumPy przyjmuje on wartości bardzo bliskie 0. Stąd wnioskujemy, że generator NumPy jest bardziej wydajny oraz jest zdecydowanie szybszy.

3 Zad 2.

W poniższym zadaniu rozważymy kilka metod generowania rozkładu normalnego i porównamy ich efektywność.

3.1 Wstęp.

Generatory liczb pseudolosowych są kluczowymi narzędziami w informatyce, generującymi ciągi liczb, które naśladują losowość. Porównanie różnych generatorów pozwala ocenić ich jakość i odpowiednio dobrać do konkretnych zastosowań. Przyjrzymy się metodom: Boxa-Mullera, Marsaglii, Tuzina oraz Ziggurratu.

3.2 Opis i implementacja generatorów.

3.2.1 Generator Boxa - Mullera

Metoda ta generuje dwie niezależne próbki z rozkładu jednostajnego przekształcając matematycznie dwie próbki z rozkładu jednostajnego.

```
1 def box_muller() -> tuple:
2     """Funkcja generuje liczby pseudolosowe metod Boxa-Mullera
3
4     Returns:
5         tuple: dwie liczby z rozkładu normalnego
6
7     Example:
8         >>> box_muller()
9         (-0.2450599351750017, 0.045448728066960306)
10    """
11    u1 = np.random.uniform(0, 1)
12    u2 = np.random.uniform(0, 1)
13
14    z1 = np.sqrt(-2 * np.log(u1)) * np.cos(2 * np.pi * u2)
15    z2 = np.sqrt(-2 * np.log(u1)) * np.sin(2 * np.pi * u2)
16
17    return z1, z2
```

Listing 4: Implementacja metody Boxa - Mullera

3.2.2 Generator Marsaglii

Metoda generuje dwie próbki z rozkładu normalnego wykorzystując transformację zmiennych losowych z rozkładu jednostajnego.

```
1 def marsaglia(mi: int, sigma: int) -> tuple:
2     """Generuje liczby pseudolosowe metod Marsaglii.
3
4     Args:
5         mi: rednia rozkładu normalnego.
6         sigma: Odchylenie standardowe rozkładu normalnego.
7
8     Returns:
9         tuple: Dwie liczby z rozkładu normalnego o zadanej średniej
10             mi i odchyleniu standardowym sigma.
11
12     Example:
13         >>> marsaglia(0, 1)
14         (0.3518546871028868, 2.4160008431319757)
15
16     """
17     u1 = np.random.uniform(-1, 1)
18     u2 = np.random.uniform(-1, 1)
19
20     s = u1**2 + u2**2
21     while s >= 1 or s == 0:
22         u1, u2 = 2 * np.random.rand(2) - 1
23         s = u1**2 + u2**2
24
25     z1 = u1 * np.sqrt(-2 * np.log(s) / s)
26     z2 = u2 * np.sqrt(-2 * np.log(s) / s)
27
28     return sigma * z1 + mi, sigma * z2 + mi
```

Listing 5: Implementacja metody Marsaglii

3.2.3 Generator Tuzin

Metoda generuje 12 niezależnych próbek z rozkładu jednostajnego, następnie zwraca liczbę, która jest ich sumą minus 6.

```
1 def tuzin(mi: int, sigma: int) -> float:
2     """Generuje liczbę pseudolosow z rozkładu normalnego metod
3         tuzin".
4
5     Args:
6         mi: rednia rozkładu normalnego.
7         sigma: Odchylenie standardowe rozkładu normalnego.
8
9     Returns:
10         float: Liczba z rozkładu normalnego o zadanej średniej mi i
11             odchyleniu standardowym sigma.
```

```
10
11 Example:
12     >>> tuzin(0, 1)
13         (0.3518546871028868, 2.4160008431319757)
14     """
15     U = [np.random.uniform() for i in range(12)]
16     X = np.sum(U) - 6
17     return sigma * X + mi
```

Listing 6: Implementacja metody Tuzin

3.2.4 Generator Zigguratu

Algorytm ziggurat jest algorytmem próbkowania odrzucającego. Losowo generuje punkt w rozkładzie nieco większym niż żądany rozkład, a następnie sprawdza, czy wygenerowany punkt znajduje się wewnątrz żadanego rozkładu. Jeśli nie, spróbuje ponownie.

```
1 def gestosc_normal(x: float) -> float:
2     """Zwraca wartość gęstości prawdopodobieństwa standardowego
3     rozkładu normalnego w punkcie x.
4
5     Args:
6         x: Wartość wejściowa.
7
8     Return:
9         float: Wartość funkcji gęstości prawdopodobieństwa
10        standardowego rozkładu normalnego w punkcie x.
11
12     Example:
13         >>> gestosc_normal(1)
14         0.24197072451914337
15     """
16     return (1 / np.sqrt(2 * np.pi)) * np.exp(-0.5 * x**2)
17
18 def odwrotna_gestosc_normal(y: float) -> float:
19     """Zwraca odwrotność funkcji dystrybucyjnej standardowego
20     rozkładu normalnego w punkcie y.
21
22     Args:
23         y: Wartość wejściowa.
24
25     Returns:
26         float: Wartość odwrotności funkcji dystrybucyjnej
27        standardowego rozkładu normalnego w punkcie y.
28
29     Example:
```

```
27     >>> odwrotna_gestosc_normal(0.24197072451914337)
28     1.0
29     """
30     return np.sqrt(-2 * np.log(np.sqrt(2 * np.pi) * y))
31
32
33 def przedzialy(N: int = 256, x0: float = 3.44) -> tuple:
34     """Generuje przedziały do metody Ziggurata.
35
36     Args:
37         N: Liczba przedziałów w. Domyślnie 256.
38         x0: Wartość początkowa. Domyślnie 3.44.
39
40     Returns:
41         tuple: Dwie tablice zawierające przedziały (x) i
42                odpowiadające im gęstości (y).
43
44     Example:
45         >>> przedzialy(16, 3.44)
46         (array([3.44          , 3.23222921, 3.0974141  , 2.99590161,
47                2.91367136,
48                2.84408838, 2.78347103, 2.72955708, 2.68085359,
49                2.63632174,
50                2.59520857, 2.55695021, 2.52111306, 2.48735621,
51                2.4554066  ,
52                2.42504197, 0.          ]),
53         array([0.00107467, 0.00214935, 0.0032931  , 0.00448664,
54                0.00572062,
55                0.00698942, 0.00828926, 0.00961742, 0.0109718  ,
56                0.0123508  ,
57                0.01375308, 0.01517758, 0.0166234  , 0.01808976,
58                0.01957603,
59                0.02108164]))
60
61     """
62     x = np.zeros(N + 1)
63     y = np.zeros(N)
64
65     x[0] = x0
66     x[-1] = 0
67     y[0] = gestosc_normal(x[0])
68
69     A = x[0] * y[0]
70     for i in range(N - 1):
71         y[i + 1] = A / x[i] + y[i]
72         x[i + 1] = odwrotna_gestosc_normal(y[i + 1])
73
74     return x, y
```

```
68
69 xs, ys = przedzialy()
70
71
72 def ziggurat(xs: np.array, ys: np.array, N: int = 256) -> float:
73     """Generuje liczby pseudolosowe metod Ziggurata.
74
75     Args:
76         xs: Tablica przedziałow.
77         ys: Tablica odpowiadających im gęstości.
78         N: Liczba przedziałów. Domyślnie 256.
79
80     Returns:
81         float: Liczba z rozkładu normalnego.
82
83     Example:
84         >>> xs, ys = przedzialy()
85         >>> ziggurat(xs, ys)
86         -0.9590442042002225
87
88     """
89     while True:
90         i = np.random.randint(0, N - 1)
91         u0 = np.random.uniform(0, 1)
92         u1 = np.random.uniform(0, 1)
93
94         choice = np.random.choice([-1, 1])
95
96         x = u0 * xs[i]
97         y = ys[i] + u1 * (ys[i + 1] - ys[i])
98
99         if i == 0:
100             x = -np.log(u0) / xs[0]
101             y = -np.log(u1)
102             if 2 * y > x**2:
103                 return (x + xs[0]) * choice
104         else:
105             if x < xs[i + 1]:
106                 return x * choice
107
108             if y < gestosc_normal(x):
109                 return x * choice
```

Listing 7: Implementacja metody Zigguratu

3.3 Poprawność metod.

W celu sprawdzenia poprawności aimplementowanych metod generujemy 10000 prób z każdego rozkładu i porównujemy ich histogram z gęstością rozkładu normlanego.

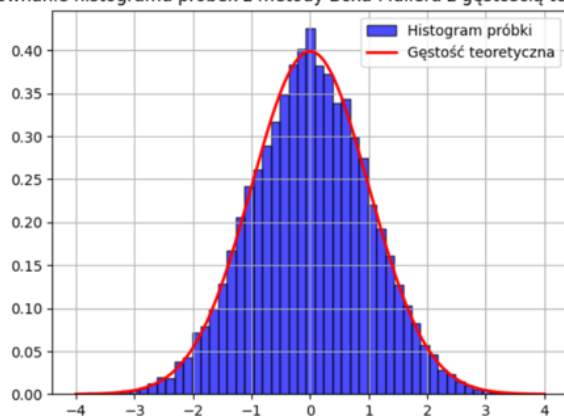
```
1 samples_box_muller = []
2 for i in range(10000):
3     bm = box_muller()
4     samples_box_muller.append(bm[0])
5     samples_box_muller.append(bm[1])
6
7 samples_marsaglia = []
8 for i in range(10000):
9     m = marsaglia(0, 1)
10    samples_marsaglia.append(m[0])
11    samples_marsaglia.append(m[1])
12
13 samples_tuzin = [tuzin(0, 1) for _ in range(10000)]
14
15 samples_ziggurat = [ziggurat(xs, ys) for _ in range(10000)]
16
17 plt.hist(
18     samples_box_muller,
19     bins=50,
20     density=True,
21     alpha=0.7,
22     color="blue",
23     edgecolor="black",
24     label="Histogram pr bki",
25 )
26 x = np.linspace(-4, 4, 1000)
27 plt.plot(x, gestosc_normal(x), color="red", lw=2, label="G Ęsto Ę
    teoretyczna")
28 plt.title("Por wnanie Ę histogramu Ę pr bek Ęz metody ĘBoxa-Mullera Ęz
    g Ęsto Ęci Ę teoretyczn ")
29 plt.legend()
30 plt.grid()
31 plt.show()
32
33 plt.hist(
34     samples_marsaglia,
35     bins=50,
36     density=True,
37     alpha=0.7,
38     color="blue",
39     edgecolor="black",
40     label="Histogram pr bki",
41 )
```

```
42 x = np.linspace(-4, 4, 1000)
43 plt.plot(x, gestosc_normal(x), color="red", lw=2, label="G \u017bsto \u017c \u2013
    teoretyczna")
44 plt.title("Por\u015bnianie \u2013 histogramu \u2013 pr\u0119bek \u2013 z \u2013 metody \u2013 Marsaglii \u2013 z \u2013
    g \u017bsto \u017c i \u2013 teoretyczn ")
45 plt.legend()
46 plt.grid()
47 plt.show()
48
49 plt.hist(
50     samples_tuzin,
51     bins=50,
52     density=True,
53     alpha=0.7,
54     color="blue",
55     edgecolor="black",
56     label="Histogram \u2013 pr\u0119bki",
57 )
58 x = np.linspace(-4, 4, 1000)
59 plt.plot(x, gestosc_normal(x), color="red", lw=2, label="G \u017bsto \u017c \u2013
    teoretyczna")
60 plt.title("Por\u015bnianie \u2013 histogramu \u2013 pr\u0119bek \u2013 z \u2013 metody \u2013 Tuzina \u2013 z \u2013
    g \u017bsto \u017c i \u2013 teoretyczn ")
61 plt.legend()
62 plt.grid()
63 plt.show()
64
65 plt.hist(
66     samples_ziggurat,
67     bins=50,
68     density=True,
69     alpha=0.7,
70     color="blue",
71     edgecolor="black",
72     label="Histogram \u2013 pr\u0119bki",
73 )
74 x = np.linspace(-4, 4, 1000)
75 plt.plot(x, gestosc_normal(x), color="red", lw=2, label="G \u017bsto \u017c \u2013
    teoretyczna")
76 plt.title("Por\u015bnianie \u2013 histogramu \u2013 pr\u0119bek \u2013 z \u2013 metody \u2013 Zigguratu \u2013 z \u2013
    g \u017bsto \u017c i \u2013 teoretyczn ")
77 plt.legend()
78 plt.grid()
79 plt.show()
```

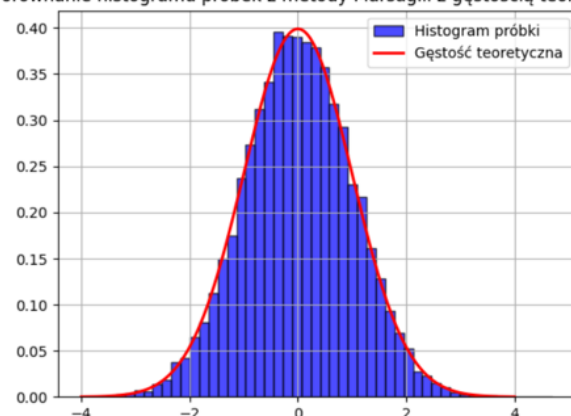
Listing 8: Sprawdzenie poprawno\u015bci metod

Uzyskane w ten spos\u00f3b histogramy wygl\u0105daj\u0105 nast\u0119puj\u0105co:

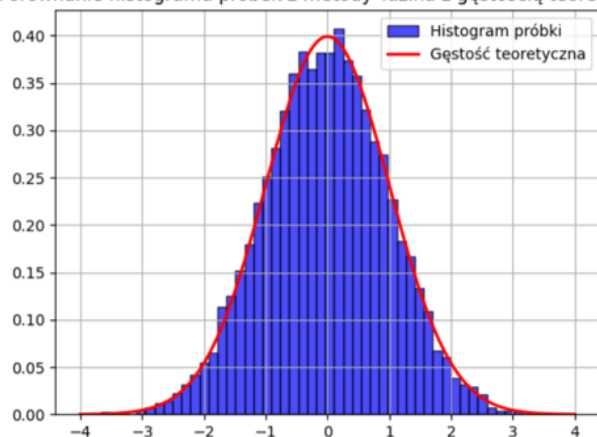
Porównanie histogramu próbek z metody Boxa-Mullera z gęstością teoretyczną



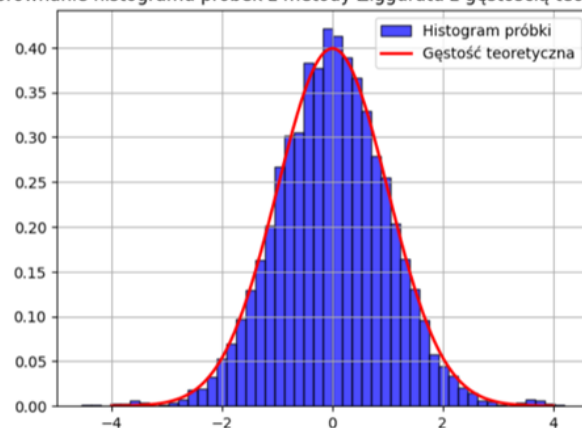
Porównanie histogramu próbek z metody Marsaglii z gęstością teoretyczną



Porównanie histogramu próbek z metody Tuzina z gęstością teoretyczną



Porównanie histogramu próbek z metody Zigguratu z gęstością teoretyczną



Rysunek 1: Histogramy porównane z gęstością teoretyczną.

3.4 Wydajność metod.

W celu znalezienia najbardziej wydajnej metody badamy czas generowania się danych metod dla różnej wielkości próbek. Czasy te zostaną przedstawione na wykresie.

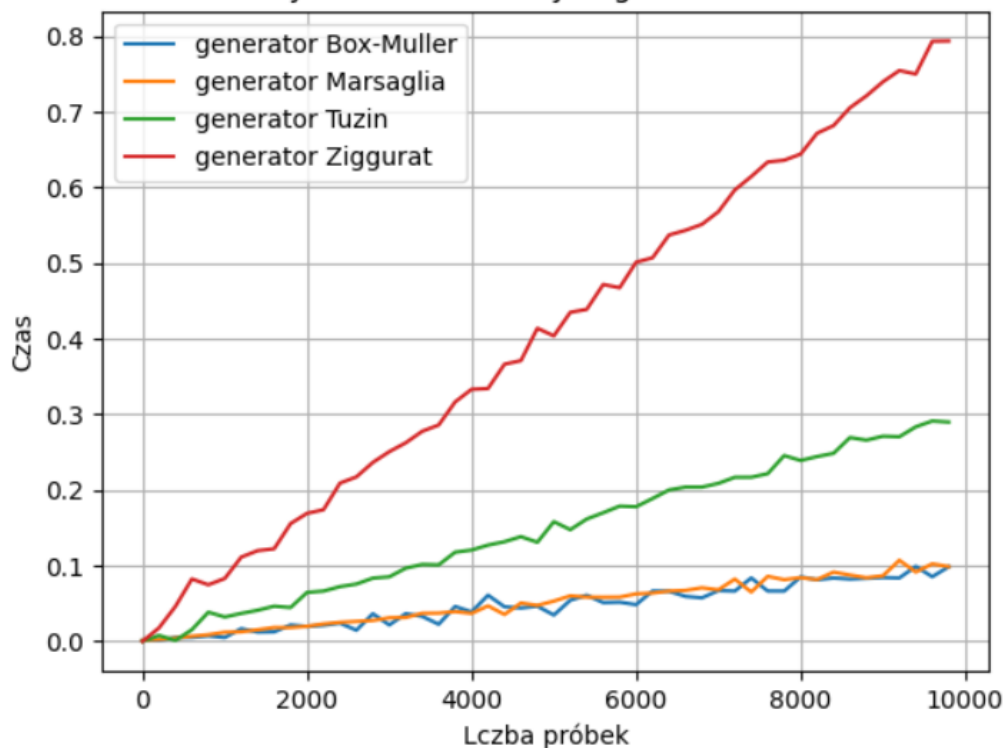
```
1 N = np.arange(0, 10000, 200)
2
3 box_muller_times = []
4 marsaglia_times = []
5 tuzin_times = []
6 ziggurat_times = []
7
8 for n in N:
```



```
9      start = time.time()
10     samples = [box_muller() for _ in range(n)]
11     t = time.time() - start
12     box_muller_times.append(t)
13
14 for n in N:
15     start = time.time()
16     samples = [marsaglia(0, 1) for _ in range(n)]
17     t = time.time() - start
18     marsaglia_times.append(t)
19
20 for n in N:
21     start = time.time()
22     samples = [tuzin(0, 1) for _ in range(n)]
23     t = time.time() - start
24     tuzin_times.append(t)
25
26 for n in N:
27     start = time.time()
28     samples = [ziggurat(xs, ys) for _ in range(n)]
29     t = time.time() - start
30     ziggurat_times.append(t)
31
32 plt.plot(N, box_muller_times, label="generator_Box-Muller")
33 plt.plot(N, marsaglia_times, label="generator_Marsaglia")
34 plt.plot(N, tuzin_times, label="generator_Tuzin")
35 plt.plot(N, ziggurat_times, label="generator_Ziggurat")
36 plt.xlabel("Liczba próbek")
37 plt.ylabel("Czas")
38 plt.title("Porównanie czasu wykonania dla różnych generatorów w rozkładzie normalnym")
39 plt.legend()
40 plt.grid()
41 plt.show()
```

Listing 9: Porównanie wydajności metod

Porównanie czasów wykonania dla różnych generatorów rozkładu normalnego



Rysunek 2: Porównanie wydajności metod.

3.5 Wnioski.

Na podstawie sporządzonych histogramów możemy stwierdzić, że każda z przedstawionych metod generowania rozkładu normalnego jest poprawna. Po badaniu wydajności najszybszymi metodami okazał się generator Boxa-Mullera oraz Marsaglii. Najdłużej generował się generator Ziggurat. Zauważamy również, że wszystkie funkcje czasu rosną liniowo.

4 Zad 3.

W niniejszym zadaniu będziemy rozważać wykorzystanie metod Monte Carlo w metodach redukcji wariancji

4.1 Wstęp.

Metody redukcji wariancji w metodach Monte Carlo są używane, aby zwiększyć efektywność i dokładność szacowania wartości oczekiwanych. Dwie popularne metody to:

Metoda odbić lustrzanych (antithetic variates),
Metoda zmiennej kontrolnej (control variates).

Wyniki Estymacji liczby π w zależności od metody zaprezentowane są na wykresie 1. Porównanie wyników błędów oraz wariancji estymatorów każdej z metod odpowiednio na wykresach 2 i 3.

4.2 Opis Metod.

Metoda odbić lustrzanych:

polega na generowaniu par zmiennych losowych, które są od siebie zależne w sposób, który zmniejsza wariancję. Przykładowo, jeśli U jest losową zmienną z rozkładu jednostajnego na $[0, 1]$, to zmienną lustrzaną będzie $1 - U$.

Metoda zmiennej kontrolnej.

Metoda zmiennej kontrolnej polega na użyciu dodatkowej zmiennej losowej, której wartość oczekiwana jest znana, aby skorygować szacunki. Jeśli Y jest naszą oryginalną zmienną losową, a C jest zmienną kontrolną z wartością oczekiwaną μ_c to nowa zmienna losowa $Y' = Y - C + \mu_c$ ma mniejszą wariancję.

4.3 Metoda Monte Carlo.

Zadanie polega na obliczeniu całki:

$$I = \int_0^1 \frac{4}{1+x^2} dx$$

Ta całka reprezentuje pole pod krzywą $\frac{4}{1+x^2}$ od 0 do 1. Możemy wykorzystać metodę Monte Carlo do oszacowania tej całki poprzez generowanie losowych punktów x w przedziale $[0, 1]$ i obliczanie wartości funkcji w tych punktach.

Zaimplementujemy to zadanie używając zarówno:
metody odbić lustrzanych (Antithetic variates), jak i
metody zmiennej kontrolnej (Control variates).

```
Wynik Monte Carlo bez redukcji wariancji: 3.139094727575495
Wynik metody odbić lustrzanych: 3.1409554254321987
Wynik metody zmiennej kontrolnej: 3.141292028716415
```

Rysunek 3: Porównanie wyników.

4.4 Skrypt W pythonie.

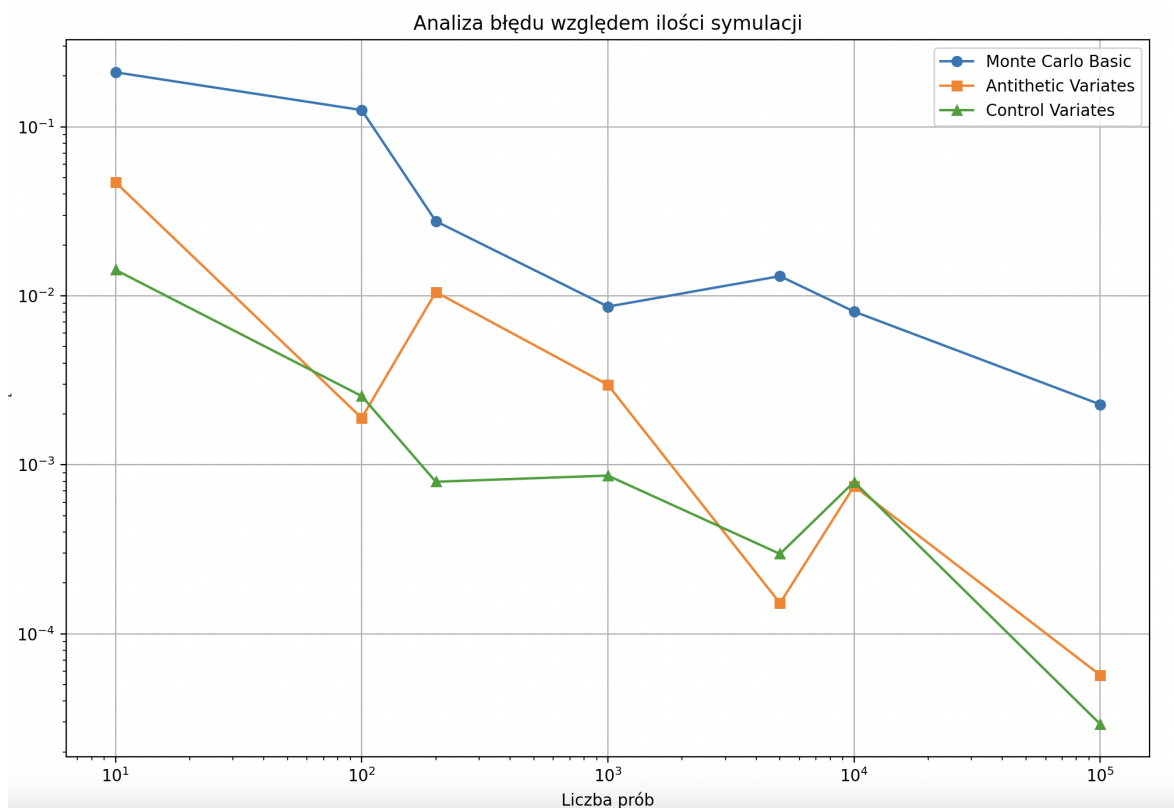
```
1 import numpy as np
2 import matplotlib.pyplot as plt
3
4 # Funkcja podcalkowa
5 def f(x: np.ndarray) -> np.ndarray:
6     """
7     Funkcja podcalkowa.
8
9     Args:
10         x (np.ndarray): Array wartosci x.
11
12     Returns:
13         np.ndarray: Oblicza wartosc funkcji: 4 / (1 + x**2).
14     """
15     return 4 / (1 + x**2)
16
17
18 # Monte Carlo klasyczna
19 def monte_carlo_basic(n: int) -> float:
20     """
21     Monte Carlo calkowanie bez "redukcji wariancji."
22
23     Args:
24         n (int): Wielkosc proby.
25
26     Returns:
27         float: Szanowana wartosc calki.
28     """
29     x = np.random.uniform(0, 1, n)
30     return np.mean(f(x))
31
32
33 # Metoda odbic lustrzanych
34 def monte_carlo_antithetic(n: int) -> float:
```

```
35 """
36     Calkowanie Monte Carlo przy uzyciu: antithetic variates method.
37
38     Args:
39         n (int): Wielkosc proby.
40
41     Returns:
42         float: Szanowana wartosc calki.
43 """
44 x = np.random.uniform(0, 1, n // 2)
45 y = 1 - x
46 return np.mean((f(x) + f(y)) / 2)
47
48
49 # Metoda zmiennej kontrolnej (uzyjemy funkcji liniowej jako zmiennej
    kontrolnej)
50 def monte_carlo_control_variate(n: int) -> float:
51     """
52     Monte Carlo integration using control variates method.
53
54     Args:
55         n (int): Wielkosc proby.
56
57     Returns:
58         float: Szanowana wartosc calki.
59 """
60     x = np.random.uniform(0, 1, n)
61     control_variate = x
62     mean_control_variate = 0.5
63     y = f(x)
64     alpha = np.cov(y, control_variate)[0, 1] / np.var(control_variate)
65     return np.mean(y - alpha * (control_variate - mean_control_variate
66                               ))
67
68 # Wielkosc proby:
69 n = 100000
70
71 # Zastosowanie funkcji
72 basic_result = monte_carlo_basic(n)
73 antithetic_result = monte_carlo_antithetic(n)
74 control_variate_result = monte_carlo_control_variate(n)
75
76 # Wyniki
77 print(f"Wynik_Monte_Carlo_bez_redukcji_wariancji:{basic_result}")
78 print(f"Wynik_metody_odbic_lustrzanych:{antithetic_result}")
79 print(f"Wynik_metody_zmiennej_kontrolnej:{control_variate_result}")
80
```

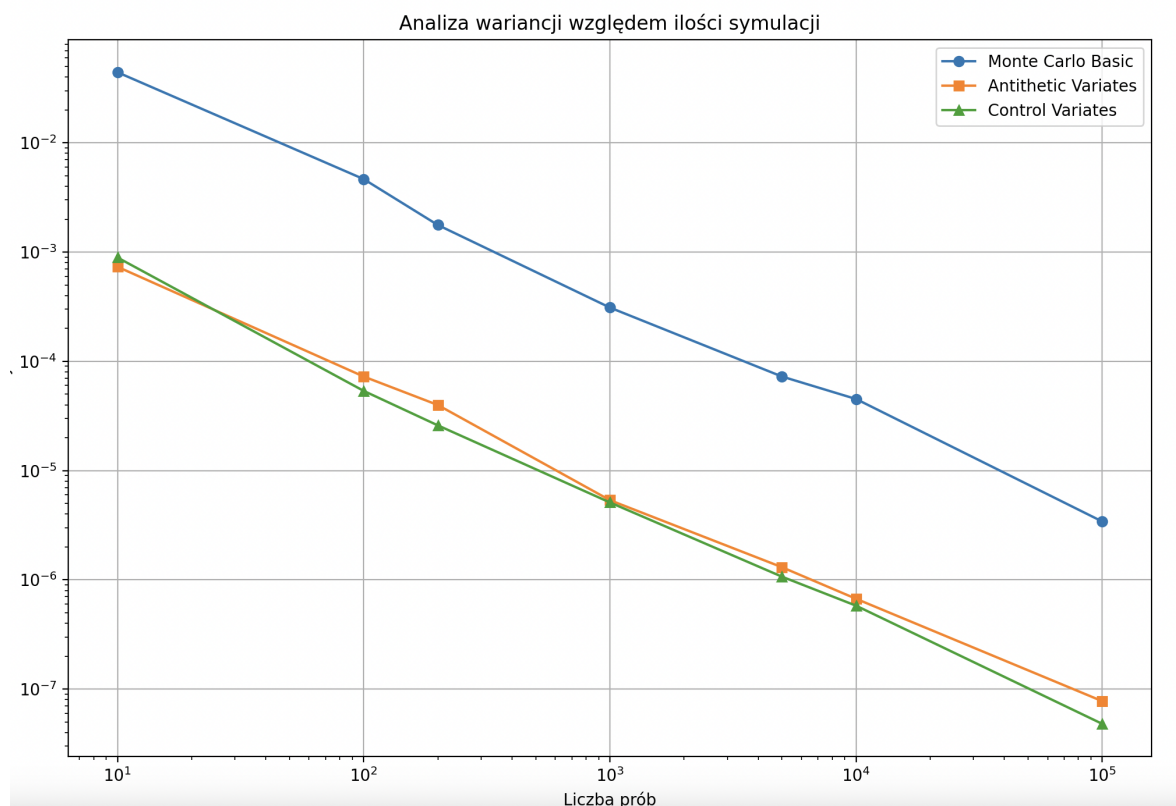
```
81 # Dokładna wartość całki
82 exact_value = np.pi
83
84 # Liczby prob
85 n_values = [10, 100, 200, 1000, 5000, 10000, 100000]
86
87 # Wyniki i błędy dla każdej z metod
88 basic_results = []
89 antithetic_results = []
90 control_variate_results = []
91
92 basic_errors = []
93 antithetic_errors = []
94 control_variate_errors = []
95
96 for n in n_values:
97     basic_result = monte_carlo_basic(n)
98     antithetic_result = monte_carlo_antithetic(n)
99     control_variate_result = monte_carlo_control_variate(n)
100
101     basic_error = np.abs(basic_result - exact_value)
102     antithetic_error = np.abs(antithetic_result - exact_value)
103     control_variate_error = np.abs(control_variate_result -
104                                     exact_value)
105
106     basic_results.append(basic_result)
107     antithetic_results.append(antithetic_result)
108     control_variate_results.append(control_variate_result)
109
110     basic_errors.append(basic_error)
111     antithetic_errors.append(antithetic_error)
112     control_variate_errors.append(control_variate_error)
113
114 # Wykresy błędów
115 plt.figure(figsize=(12, 8))
116 plt.plot(n_values, basic_errors, marker="o", label="Monte Carlo Basic")
117 plt.plot(n_values, antithetic_errors, marker="s", label="Antithetic Variates")
118 plt.plot(n_values, control_variate_errors, marker="^", label="Control Variates")
119
120 plt.xscale("log")
121 plt.yscale("log")
122 plt.xlabel("Liczba prob")
123 plt.ylabel("Bład")
124 plt.title("Analiza błędów względem ilości symulacji")
```

```
125 plt.legend()
126 plt.grid(True)
127 plt.show()
128
129 # Wariancje dla kazdej z metod
130 basic_variance = [np.var([monte_carlo_basic(n) for _ in range(100)])
131                   for n in n_values]
131 antithetic_variance = [np.var([monte_carlo_antithetic(n) for _ in
132                               range(100)]) for n in n_values]
132 control_variate_variance = [np.var([monte_carlo_control_variate(n) for
133                                   _ in range(100)]) for n in n_values]
133
134 # Wykresy wariancji
135 plt.figure(figsize=(12, 8))
136
137 plt.plot(n_values, basic_variance, marker="o", label="Monte_Carlo_Basic")
138 plt.plot(n_values, antithetic_variance, marker="s", label="Antithetic_Variates")
139 plt.plot(n_values, control_variate_variance, marker="^", label="Control_Variates")
140
141 plt.xscale("log")
142 plt.yscale("log")
143 plt.xlabel("Liczba_prob")
144 plt.ylabel("Wariancja")
145 plt.title("Analiza_wariancji_wzgledem_ilosci_symulacji")
146 plt.legend()
147 plt.grid(True)
148 plt.show()
149
150 # Tabela wynikow i bledow
151 print("")
152 print(f"{'Liczba_prob':<15}{'Wynik_Basic':<15}{'Blad_Basic':<15}{'Wynik_Antithetic':<20}{'Blad_Antithetic':<20}{'Wynik_Control_Variate':<25}{'Blad_Control_Variate':<25}")
153 for n, basic_result, basic_error, antithetic_result, antithetic_error, control_variate_result, control_variate_error in zip(n_values, basic_results, basic_errors, antithetic_results, antithetic_errors, control_variate_results, control_variate_errors):
154     print(f"{n:<15}{basic_result:<15.10f}{basic_error:<15.10f}{antithetic_result:<20.10f}{antithetic_error:<20.10f}{control_variate_result:<25.10f}{control_variate_error:<25.10f}")
```

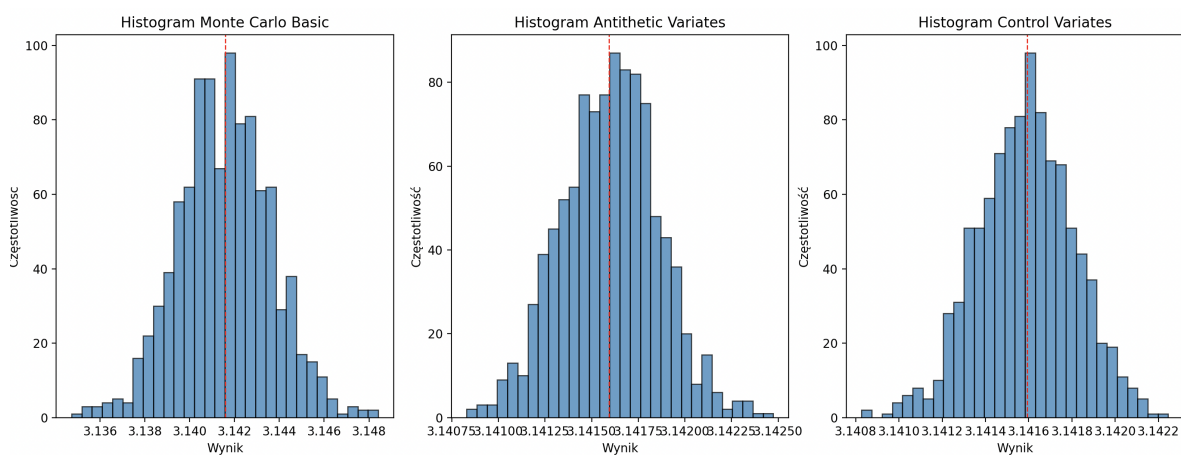
Listing 10: Skrypt do Zad 3.



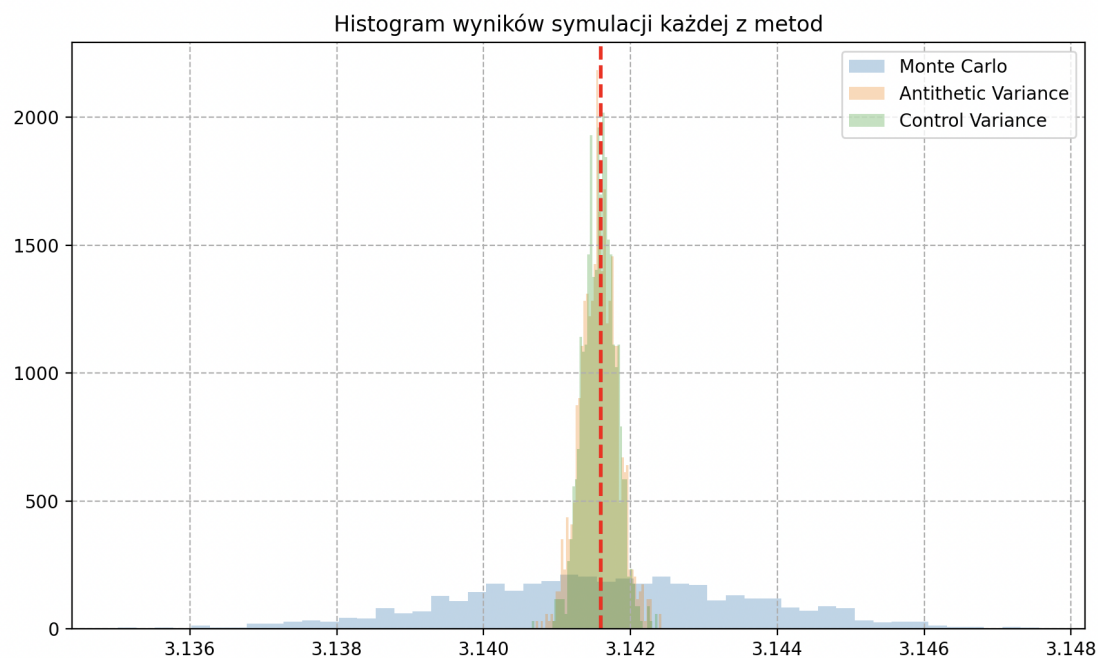
Rysunek 4: Wykres Błędu



Rysunek 5: Porównanie Wariancji



Rysunek 6: Porównanie Histogramów każdej z metod.



Rysunek 7: Histogramy na jendym.

5 Zad 4.

5.1 Wstęp

W zadaniu czwartym analizujemy warunkową wartość oczekiwaną zmiennej Y warunkowanej zmienną X . Wartość oczekiwana $f(X)$ zmiennej Y spełnia właściwość:

$$\mathbb{E}(Y|X = x) = f(x) = \arg \min_g \mathbb{E}((Y - g(X))^2).$$

Jest to najlepsze przybliżenie w sensie L^2 zmiennej Y korzystające z danych pochodzących ze zmiennej X .

5.2 Część pierwsza

Rozważamy sytuację gdy X i Y są zmiennymi niezależnymi, a $\mathbb{E}(Y) = 0$. W takim przypadku dla Z zdefiniowanego jako: $Z = XY + \sin X$ zachodzi $\mathbb{E}(Z|X) = \sin X$. Aby to sprawdzić przeprowadzo następujące kroki:

- Wygenerowano zmienne X i Y i.i.d $\sim \mathcal{N}(0, 1)$.
- Obliczono $Z = XY + \sin X$.
- Obliczono warunkową wartość oczekiwaną $\mathbb{E}(Z|X)$ w przedziałach.
- Obliczono środki przedziałów.
- Wyliczono teoretyczną wartość $\mathbb{E}(Z|X) = \sin X$ w środkach przedziałów.
- Stworzono wykres typu scatterplot $X \mapsto Z|X$
- Naniesiono na wykres estymowaną $\mathbb{E}(Z|X)$ oraz teoretyczną $\mathbb{E}(Z|X) = \sin X$

Poniżej znajduje się kod w języku Python, który realizuje powyższe kroki i rysuje odpowiednie wykresy:

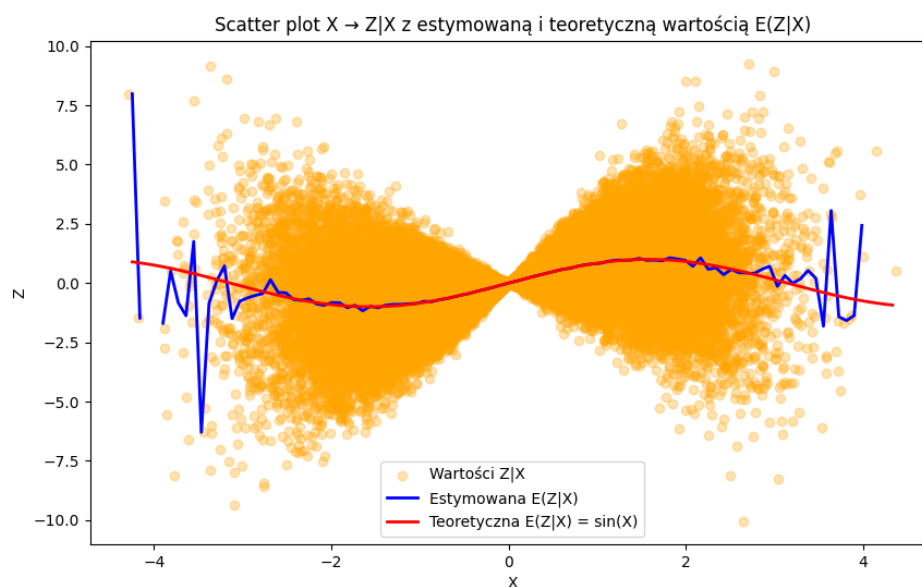
```
1 def plot_conditional_expectation(  
2     num_samples: int = 100000, num_bins: int = 100  
3 ) -> None:  
4     """
```

```
5   Plots the conditional expectation  $E(Z|X)$  using random samples  $X$ 
6   and  $Y$ , where  $Z = X * Y + \sin(X)$ .
7   Compares the estimated  $E(Z|X)$  with the theoretical value  $\sin(X)$ .
8
9   Parameters:
10  num_samples (int): Number of random samples to generate for  $X$  and
11   $Y$ .
12  num_bins (int): Number of bins to use for estimating  $E(Z|X)$ .
13
14  Returns:
15  None
16
17  Example usage:
18  plot_conditional_expectation(num_samples=100000, num_bins=100)
19  """
20
21  # Generate random samples for  $X$  and  $Y$ 
22   $X = \text{np.random.standard\_normal}(\text{num\_samples})$ 
23   $Y = \text{np.random.standard\_normal}(\text{num\_samples})$ 
24
25  # Calculate  $Z$  based on the formula  $Z = X * Y + \sin(X)$ 
26   $Z = X * Y + \text{np.sin}(X)$ 
27
28  # Calculate the conditional expectation  $E(Z|X)$  in bins
29  # 'binned_statistic' divides  $X$  data into bins and computes the
30  # mean of  $Z$  in each bin
31  bin_means, bin_edges, _ = binned_statistic( $X$ ,  $Z$ , statistic="mean",
32  bins=num_bins)
33
34  # Calculate the bin centers
35  bin_centers = (bin_edges[:-1] + bin_edges[1:]) / 2
36
37  # The theoretical value  $E(Z|X) = \sin(X)$  at the bin centers
38   $E\_Z\_given\_X\_theoretical = \text{np.sin}(\text{bin\_centers})$ 
39
40  # Create scatter plot  $X \rightarrow Z|X$ 
41  plt.figure(figsize=(10, 6)) # Set plot size
42  plt.scatter(
43       $X$ ,  $Z$ , alpha=0.3, label="Values of  $Z|X$ ", color="orange"
44  ) # Plot points ( $X$ ,  $Z$ )
45  plt.plot(
46      bin_centers, bin_means, "b-", label="Estimated  $E(Z|X)$ ",
47      linewidth=2
48  ) # Plot estimated  $E(Z|X)$ 
49  plt.plot(
50      bin_centers,
51       $E\_Z\_given\_X\_theoretical$ ,
52      "r-",
```

```

48     label="Theoretical  $E(Z|X) = \sin(X)$ ",
49     linewidth=2,
50 ) # Plot theoretical  $E(Z|X)$ 
51 plt.xlabel("X") # X-axis label
52 plt.ylabel("Z") # Y-axis label
53 plt.title(
54     "Scatter plot X      Z|X with estimated and theoretical value E
55       (Z|X)"
56 ) # Plot title
57 plt.legend() # Add legend
58 plt.show() # Display plot
59
60 plot_conditional_expectation()

```



Rysunek 9: Scatter plot $X \rightarrow Z|X$ z estymowaną i teoretyczną wartością $E(Z|X)$

5.3 Część druga

Rozważamy sytuację, gdy N jest procesem Poissona o intensywności λ . Dla $T \geq t \geq 0$ zachodzi $\mathbb{E}(N_t|N_T) = \frac{tN_T}{T}$. Oznacza to, że zakładając przybywanie klientów do sklepu zgodnie z procesem Poissona i mając dane na temat dotychczasowej liczby klientów w sklepie w chwili T (czyli N_T), najlepszym przybliżeniem liczby klientów w chwili $t < T$ równej N_t jest $\frac{tN_T}{T}$. Aby to sprawdzić, przeprowadzono następujące kroki:

- Przyjęto proces Poissona o intensywności λ .
- Wygenerowano losowe próbki N_T z rozkładu Poissona dla chwili T .
- Obliczono wartość oczekiwaną $\mathbb{E}(N_t|N_T)$ jako $\frac{tN_T}{T}$ dla różnych wartości t w przedziale $[0, T]$.
- Stworzono wykres zależności $t \mapsto \mathbb{E}(N_t|N_T)$ dla kilku możliwych realizacji N_T .
- Dla każdej realizacji procesu Poissona wygenerowano czas zdarzeń i odpowiadające im liczby zdarzeń.
- Stworzono wykres krokowy dla indywidualnych realizacji procesu Poissona.
- Na wykresie naniesiono zarówno estymowaną wartość $\mathbb{E}(N_t|N_T)$, jak i rzeczywiste realizacje procesu Poissona.

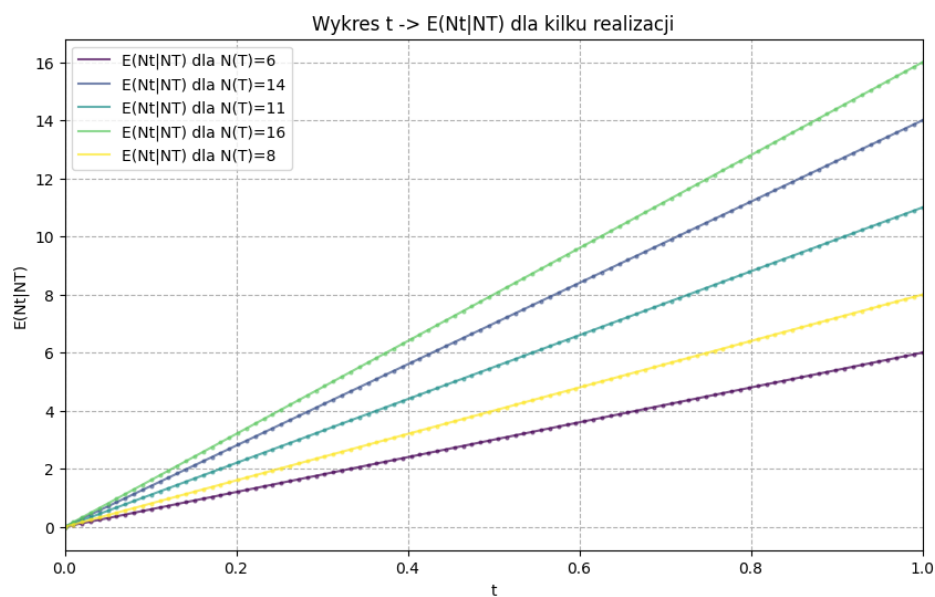
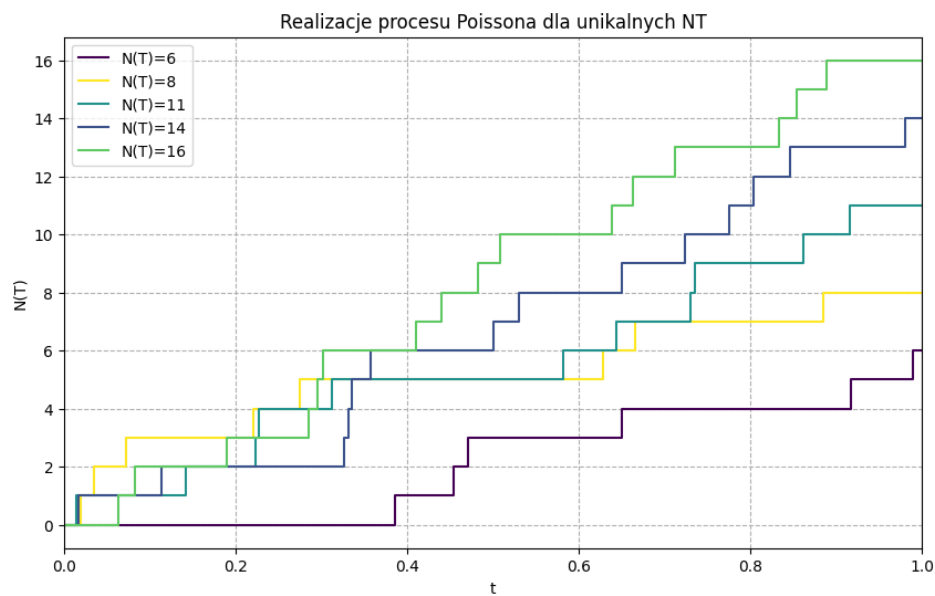
Poniżej znajduje się kod w języku Python, który realizuje powyższe kroki i rysuje odpowiednie wykresy:

```
1 def plot_E_Nt_given_NT(  
2     T: float = 1,  
3     lambda_intensity: float = 10,  
4     num_realizations: int = 5,  
5     line_style: str = "solid",  
6 ) -> None:  
7     """  
8     Plots the expected value  $E(N_t|N_T)$  for a Poisson process with  
9         intensity  $\lambda$  and individual realizations of this process.  
10  
11     Parameters:  
12     T (float): Total time period for the Poisson process.  
13     lambda_intensity (float): Intensity (rate) of the Poisson process.  
14     num_realizations (int): Number of different realizations of the  
15         Poisson process to be plotted.  
16     line_style (str): Line style for the plots ('solid' or 'dashed').  
17  
18     Returns:  
19     None  
20  
21     Example usage:  
22     plot_E_Nt_given_NT(T=1, lambda_intensity=10, num_realizations=5,  
23         line_style='solid')  
24     """  
25  
26     # Generate time values from 0 to T  
27     t_values = np.linspace(0, T, 100)
```

```
25 # Generate color palette for different realizations
26 colors = plt.cm.viridis(np.linspace(0, 1, num_realizations))
27
28 # Set to store unique NT samples
29 NT_samples = set()
30
31 # Initialize the plot
32 plt.figure(figsize=(10, 6))
33 color_map = {}
34
35 # Loop for each realization
36 for i in range(num_realizations):
37     # Generate a unique sample from the Poisson distribution for
38     # NT
39     NT_sample = np.random.poisson(lambda_intensity * T)
40     while NT_sample in NT_samples:
41         NT_sample = np.random.poisson(lambda_intensity * T)
42     NT_samples.add(NT_sample)
43
44     color_map[NT_sample] = colors[i]
45
46     # Calculate the expected value E(Nt|NT)
47     E_Nt_given_NT_sample = (t_values * NT_sample) / T
48     color = color_map[NT_sample]
49
50     # Plot the expected value E(Nt|NT)
51     plt.plot(
52         t_values,
53         E_Nt_given_NT_sample,
54         linestyle=line_style,
55         alpha=0.7,
56         color=color,
57         label=f"E(Nt|NT) for N(T)={NT_sample}",
58     )
59     plt.plot(
60         t_values, E_Nt_given_NT_sample, "o", markersize=2, alpha
61         =0.5, color=color
62     )
63
64 # Plot settings
65 plt.xlabel("t")
66 plt.ylabel("E(Nt|NT)")
67 plt.xlim(0, T)
68 plt.title("Plot t -> E(Nt|NT) for several realizations")
69 plt.grid(True, linestyle="--")
70 plt.legend(loc="upper left")
plt.show()
```



```
71 # Initialize the plot for the Poisson process realizations
72 plt.figure(figsize=(10, 6))
73 for NT_sample in NT_samples:
74     # Generate event times and corresponding event counts
75     t_realization = np.append(0, np.sort(np.random.uniform(0, T,
76         NT_sample)))
77     Nt_realization = np.arange(0, NT_sample + 1)
78
79     color = color_map[NT_sample]
80     plt.step(
81         np.append(t_realization, T),
82         np.append(Nt_realization, NT_sample),
83         where="post",
84         label=f"N(T)={NT_sample}",
85         color=color,
86     )
87
88 # Plot settings for the Poisson process realizations
89 plt.xlabel("t")
90 plt.ylabel("N(T)")
91 plt.xlim(0, T)
92 plt.title("Realizations of the Poisson process for unique NT")
93 plt.grid(True, linestyle="--")
94 plt.legend(loc="upper left")
95 plt.show()
96
97 # Call the function with default parameters
98 plot_E_Nt_given_NT(num_realizations=5, line_style="solid")
```

Rysunek 10: Wykres $t \rightarrow E(N_t|N_T)$ dla kilku realizacji)

Rysunek 11: Realizacje procesu Poissona dla unikalnych NT

5.4 Część trzecia

Rozważamy sytuację, gdy N jest procesem Poissona o intensywności λ . Dla $t \geq s \geq 0$ zachodzi $\mathbb{E}(N_t|\mathcal{F}_s) = N_s + \lambda(t - s)$, gdzie \mathcal{F}_s to filtracja naturalna procesu N_s . Oznacza to, że zakładając przybywanie klientów do sklepu zgodnie z procesem Poissona i mając dane na temat dotychczasowej liczby klientów w sklepie w każdej chwili ω spełniającej $0 \leq \omega \leq s$ (czyli \mathcal{F}_s), najlepszym przybliżeniem liczby klientów w chwili $t \geq s$ jest $N_s + \lambda(t - s)$. Aby to sprawdzić, przeprowadzono następujące kroki:

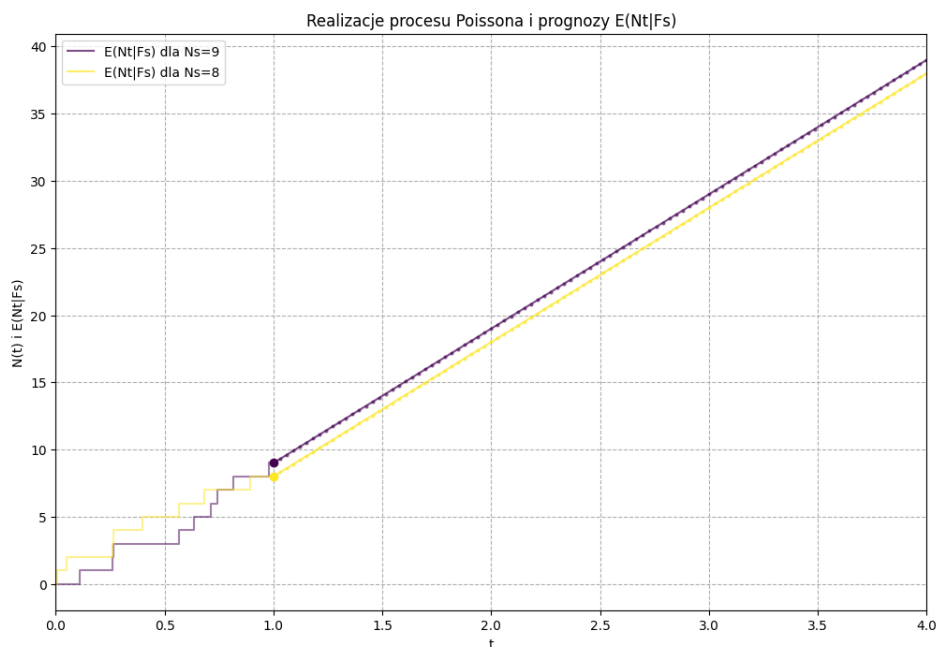
- Przyjęto proces Poissona o intensywności λ .
- Wygenerowano losowe próbki N_s z rozkładu Poissona dla chwili s .
- Obliczono wartość oczekiwaną $\mathbb{E}(N_t|\mathcal{F}_s)$ jako $N_s + \lambda(t - s)$ dla różnych wartości t w przedziale $[s, T]$.
- Dla każdej realizacji procesu Poissona wygenerowano czas zdarzeń i odpowiadające im liczby zdarzeń do czasu s .
- Stworzono wykres zależności $t \mapsto \mathbb{E}(N_t|\mathcal{F}_s)$ dla kilku możliwych realizacji N_s .
- Naniesiono na wykres zarówno estymowaną wartość $\mathbb{E}(N_t|\mathcal{F}_s)$, jak i rzeczywiste realizacje procesu Poissona.

Poniżej znajduje się kod w języku Python, który realizuje powyższe kroki i rysuje odpowiednie wykresy:

```
1 import numpy as np
2 import matplotlib.pyplot as plt
3
4 def plot_E_Nt_given_Fs_10_steps(
5     s: float = 1, lambda_intensity: float = 10, num_realizations: int
6     = 5, T: float = 4
7 ) -> None:
8     """
9     Plots the expected value E(Nt|Fs) for a Poisson process with
10        intensity λ and individual realizations of this process.
11
12     Parameters:
13     s (float): Time at which the filtration Fs is considered.
14     lambda_intensity (float): Intensity (rate) of the Poisson process.
15     num_realizations (int): Number of different realizations of the
16        Poisson process to be plotted.
17     T (float): Total time period for the Poisson process.
```

```
16 Returns:
17 None
18
19 Example usage:
20 plot_E_Nt_given_Fs_10_steps(s=1, lambda_intensity=10,
21                             num_realizations=5, T=4)
22 """
23 # Generate time values from s to T
24 t_values = np.linspace(s, T, 100)
25 # Generate color palette for different realizations
26 colors = plt.cm.viridis(np.linspace(0, 1, num_realizations))
27 # Set to store unique NT samples
28 NT_samples = set()
29 color_map = {}
30
31 # Initialize the plot
32 plt.figure(figsize=(12, 8))
33
34 # Loop for each realization
35 for i in range(num_realizations):
36     # Generate a unique sample from the Poisson distribution for
37     # NT
38     NT_sample = np.random.poisson(lambda_intensity * s)
39     while NT_sample in NT_samples:
40         NT_sample = np.random.poisson(lambda_intensity * s)
41     NT_samples.add(NT_sample)
42
43     # Generate event times and corresponding event counts up to
44     # time s
45     t_realization = np.append(0, np.sort(np.random.uniform(0, s,
46     NT_sample)))
47     Nt_realization = np.arange(0, NT_sample + 1)
48
49     # Assign color to the current realization
50     color = colors[i]
51     color_map[NT_sample] = color
52
53     # Calculate the expected value E(Nt|Fs)
54     E_Nt_given_Fs = NT_sample + lambda_intensity * (t_values - s)
55
56     # Plot the trajectory up to 10 steps
57     plt.step(
58         np.append(t_realization, s),
59         np.append(Nt_realization, NT_sample),
60         where="post",
61         alpha=0.5,
62         color=color,
```

```
60     )
61     plt.scatter([s], [NT_sample], color=color, zorder=5)
62
63     # Plot the forecast
64     plt.plot(
65         t_values,
66         E_Nt_given_Fs,
67         linestyle="solid",
68         alpha=0.7,
69         color=color,
70         label=f"E(Nt|Fs) for Ns={NT_sample}",
71     )
72     plt.plot(t_values, E_Nt_given_Fs, "o", markersize=2, alpha
73              =0.5, color=color)
74
75     # Plot settings
76     plt.xlabel("t")
77     plt.ylabel("N(t) and E(Nt|Fs)")
78     plt.xlim(0, T)
79     plt.title("Poisson process realizations and forecasts E(Nt|Fs)")
80     plt.grid(True, linestyle="--")
81     plt.legend(loc="upper left")
82     plt.show()
83
84     # Call the function with default parameters
85     plot_E_Nt_given_Fs_10_steps(num_realizations=2, T=4)
```



Rysunek 12: Realizacje procesu Poissona i prognozy $E(Nt - F_s)$

5.5 Wnioski

W przeprowadzonym zadaniu analizowaliśmy warunkową wartość oczekiwaną zmiennej Y warunkowanej zmienną X oraz zachowanie procesu Poissona w różnych kontekstach. Poniżej przedstawiono główne wnioski z poszczególnych części zadania:

5.5.1 Część pierwsza

Analiza zmiennych niezależnych X i Y pokazała, że dla $Z = XY + \sin X$ rzeczywiście zachodzi $\mathbb{E}(Z|X) = \sin X$. Symulacje potwierdziły teoretyczne oczekiwania:

- Generowane losowe próbki X i Y pozwoliły na obliczenie zmiennej Z zgodnie z założonym wzorem.
- Obliczone wartości warunkowej wartości oczekiwanej $\mathbb{E}(Z|X)$ były zgodne z teoretycznymi wartościami $\sin X$.
- Wykres typu scatterplot $X \mapsto Z|X$ jasno pokazał zgodność pomiędzy estymowanymi a teoretycznymi wartościami $\mathbb{E}(Z|X)$.

5.5.2 Część druga

Analiza procesu Poissona o intensywności λ dla $t < T$ wykazała, że wartość oczekiwana $\mathbb{E}(N_t|N_T)$ jest zgodna z teoretycznym modelem:

- Generowane losowe próbki N_T dla chwili T pozwoliły na estymację wartości N_t dla różnych chwil t .
- Obliczone wartości $\mathbb{E}(N_t|N_T)$ jako $\frac{tN_T}{T}$ były zgodne z przewidywaniami teoretycznymi.
- Wykresy przedstawiające zależność $t \mapsto \mathbb{E}(N_t|N_T)$ dla różnych realizacji N_T potwierdziły teoretyczne oczekiwania.

5.5.3 Część trzecia

Analiza procesu Poissona o intensywności λ dla $t \geq s \geq 0$ wykazała zgodność wartości oczekiwanych $\mathbb{E}(N_t|\mathcal{F}_s)$ z modelem teoretycznym:

- Generowane losowe próbki N_s dla chwili s pozwoliły na estymację wartości N_t dla różnych chwil t w przedziale $[s, T]$.
- Obliczone wartości $\mathbb{E}(N_t|\mathcal{F}_s)$ jako $N_s + \lambda(t - s)$ były zgodne z przewidywaniami teoretycznymi.
- Wykresy przedstawiające zależność $t \mapsto \mathbb{E}(N_t|\mathcal{F}_s)$ dla różnych realizacji N_s potwierdziły teoretyczne oczekiwania.

Podsumowując, przeprowadzone symulacje i analizy potwierdziły teoretyczne modele dotyczące warunkowej wartości oczekiwanej oraz procesów Poissona. Wyniki symulacji były zgodne z przewidywaniami teoretycznymi, co świadczy o poprawności zastosowanych metod oraz modeli. Zadanie to pozwoliło na praktyczne zweryfikowanie teoretycznych koncepcji za pomocą symulacji komputerowych.

6 Zad 5.

6.1 Wstęp

W zadaniu piątym zajmujemy się analizą procesu ruiny w modelu Cramera-Lundberga. Ten model jest stosowany do opisu procesów ekonomicznych na małą skalę, takich jak

te zachodzące wewnątrz pojedynczego przedsiębiorstwa. Załóżmy, że X_t to proces ruiny, czyli stan finansowy (budżet) pewnej firmy ubezpieczeniowej. Model ten jest określony za pomocą poniższego wzoru:

$$X_t = u + ct - \sum_{i=0}^{N_t} \xi_i,$$

gdzie:

- $u > 0$ jest początkowym kapitałem firmy,
- $c > 0$ to stały przychód przypadający na jednostkę czasu,
- $\xi_i > 0$ jest zmienną losową z rozkładu wykładniczego $Exp(\eta)$, i odpowiada np. wielkości strat
- N_t jest procesem Poissona o intensywności λ

gdzie $\xi_i \perp \xi_j$ dla $i \neq j$, $\mathbb{E}(\xi_i) = \eta$. Czasem ruiny klasycznej nazywamy zmienną $\tau = \inf\{t > 0 | X_t < 0\}$. Prawdopodobieństwem ruiny w czasie nieskończonym nazywamy funkcję $\psi(u, c) = \mathbb{P}(\tau < \infty)$. Wzór Pollaczka-Chinczyna mówi, że

$$\psi(u, c) = \frac{\eta\lambda}{c} e^{-(\frac{1}{\eta} - \frac{\lambda}{c})u}.$$

6.2 Część pierwsza

Aby zweryfikować symulacyjnie te wyniki, skorzystamy z pomocniczego prawdopodobieństwa ruiny w czasie skończonym T , tj. $\Psi(u, c, T) = \mathbb{P}(\tau < T)$, $T > 0$, dla odpowiednio dużego T . Wykonano następujące kroki:

- Wygenerowano proces Poissona za pomocą funkcji `poisson_process`.
- Zasymulowano proces ruiny kapitału za pomocą funkcji `proces_ruiny`.
- Zaimplementowano wzór Pollaczka-Khinchina do obliczenia prawdopodobieństwa ruiny
- Obliczono prawdopodobieństwo ruiny kapitału metodą Monte Carlo za pomocą funkcji `ruin_prob_estim`.

- Porównano wyniki symulacji z wartościami teoretycznymi uzyskanymi z wzoru Pollaczka-Chinczyna za pomocą funkcji `pollaczek_khinchine`.

```
1  def poisson_process(rate: float, time_duration: float) -> tuple:
2  """
3  Generates a Poisson process based on the given intensity rate and
4      time duration.
5
6  The function generates the number of events from a Poisson
7      distribution and their occurrence times as cumulative sums
8      from an exponential distribution. A dictionary is also created
9      where the keys are event times and the values
10     are the event numbers.
11
12     Parameters:
13     rate (float): Intensity rate of the Poisson process.
14         - Must be positive.
15     time_duration (float): Duration of the simulation.
16         - Must be positive.
17
18     Returns:
19     tuple: A tuple containing:
20         - num_events (int): Number of events generated during the
21           simulation.
22         - event_times (np.ndarray): Array of event occurrence
23           times.
24             - Time from the start of the simulation to each event.
25         - N_t (dict): Dictionary where the keys are event times
26           and the values are the event numbers.
27
28     Example usage:
29     >>> rate = 0.5
30     >>> time_duration = 10
31     >>> num_events, event_times, N_t = poisson_process(rate,
32           time_duration)
33     >>> print(num_events) # Example result: 5
34     >>> print(event_times) # Example result: [0.52529719
35           2.83973255 4.71950743 7.49885524 7.9769648 ]
36     >>> print(N_t) # Example result: {0.5252971895590703: 1,
37           2.8397325522665495: 2, 4.719507434161063: 3,
38           7.498855235336915: 4, 7.976964802216262: 5}
39
40     """
41     # Generate the number of events from a Poisson distribution
42     num_events = np.random.poisson(rate * time_duration)
43
44     # Generate the event times as cumulative sums from an exponential
45     distribution
```

```
34     event_times = np.cumsum(np.random.exponential(1 / rate, num_events
35                               ))
36
37     # Create the N_t dictionary using the zip and dict functions
38     N_t = dict(zip(event_times, range(1, num_events + 1)))
39
40     # Return the number of events, event times, and the N_t dictionary
41     return num_events, event_times, N_t
```

```
1     def proces_ruiny(eta: float, u: float, c: float, T: float, lambda_
2       : float) -> int:
3         """
4         Simulates the ruin process of capital.
5
6         The ruin process of capital describes whether the capital of an
7         insurance company will be ruined over a given period of time,
8         taking into account the inflows (premiums) and outflows (claims).
9
10        Parameters:
11        eta (float): Mean value of claims.
12            - Must be positive.
13        u (float): Initial capital.
14            - Must be positive.
15        c (float): Premium rate per time unit.
16            - Must be positive.
17        T (float): Duration of the simulation.
18            - Must be positive.
19        lambda_ (float): Intensity of the Poisson process (average
20            event frequency).
21            - Must be positive.
22
23        Returns:
24        int: Returns 1 if the capital is ruined (capital < 0 at any
25            point), otherwise 0.
26
27        Example usage:
28        >>> eta = 7
29        >>> u = 12
30        >>> c = 1
31        >>> T = 10
32        >>> lambda_ = 0.5
33        >>> result = proces_ruiny(eta, u, c, T, lambda_)
34        >>> print(result) # Example result: 1 (ruin occurred)
35
36        """
37
38        # Generate the number of events, event times, and event number
39        # dictionary
40        num_events, event_times, N_T = poisson_process(lambda_, T)
```

```
35     if num_events == 0:
36         return 0 # If there are no events, ruin did not occur
37
38     # Generate claim durations and cumulative sums of claim durations
39     etas_cumsum = np.cumsum(np.random.exponential(eta, num_events))
40
41     # Calculate the capital state R at different time points
42     R = u + c * event_times - etas_cumsum
43
44     # Check if the capital ruin occurred
45     return int(np.min(R) < 0) # Returns 1 if ruin occurred, otherwise
                                0
```

```
1  def pollaczek_khinchine(u: float, c: float, eta: float, lambd:
2      float) -> float:
3      """
4      Implementation of the Pollaczek-Khinchine formula to calculate the
5      probability of ruin.
6
7      The Pollaczek-Khinchine formula is used in queueing theory to
8      determine the probability of capital ruin
9      for a given initial capital 'u', premium rate 'c', average claim
10     value 'eta', and Poisson process intensity 'lambd'.
11
12     Parameters:
13     u (float): Initial capital.
14         - Must be positive.
15     c (float): Premium rate per time unit.
16         - Must be positive.
17     eta (float): Average claim value.
18         - Must be positive.
19     lambd (float): Intensity of the Poisson process (average event
20         frequency).
21         - Must be positive.
22
23     Returns:
24     float: Probability of capital ruin.
25
26     Example usage:
27     >>> u = 10
28     >>> c = 5
29     >>> eta = 2
30     >>> lambd = 1
31     >>> ruin_probability = pollaczek_khinchine(u, c, eta, lambd)
32     >>> print(ruin_probability) # Example result:
                                0.01991482734714558
33
34     """
35     # Implementation of the Pollaczek-Khinchine formula
```

```
30     return eta * lambd / c * np.exp(-(1 / eta - lambd / c) * u)

1     def ruin_prob_estim(
2         eta: float, u: float, c: float, T: float, lambd: float, mc: int
3     ) -> float:
4         """
5         Estimating the probability of capital ruin using the Monte Carlo
6         method.
7
8         The function simulates the capital ruin process multiple times (
9         specified number of times) and calculates
10        the average probability of ruin based on the simulation results.
11
12        Parameters:
13            eta (float): Average claim value.
14                - Must be positive.
15            u (float): Initial capital.
16                - Must be positive.
17            c (float): Premium rate per time unit.
18                - Must be positive.
19            T (float): Duration of the simulation.
20                - Must be positive.
21            lambd (float): Intensity of the Poisson process (average event
22                frequency).
23                - Must be positive.
24            mc (int): Number of Monte Carlo simulations.
25                - Must be positive.
26
27        Returns:
28            float: Estimated probability of capital ruin.
29
30        Example usage:
31            >>> eta = 7
32            >>> u = 12
33            >>> c = 1
34            >>> T = 10
35            >>> lambd = 0.5
36            >>> mc = 10000
37            >>> ruin_probability = ruin_prob_estim(eta, u, c, T, lambd, mc
38                )
39            >>> print(ruin_probability) # Example result: 0.7276
40        """
41        if_ruin = np.array([proces_ruiny(eta, u, c, T, lambd) for _ in
42            range(mc)])
43        return np.mean(if_ruin)

1     mc = 10**3 # number of Monte Carlo trials
2     u = 5 # initial capital
```

```
3 c = 2 # constant growth rate
4 lambd = 1 # Poisson process parameter
5 eta = 1 # parameter of the xi variable
6 T1 = 5 # example time horizon
7 T2 = 1000
8 T3 = 10000
9 pc = pollaczek_khinchine(u, c, eta, lambd)
10
11 estim1 = ruin_prob_estim(eta, u, c, T1, lambd, mc)
12 estim2 = ruin_prob_estim(eta, u, c, T2, lambd, mc)
13 estim3 = ruin_prob_estim(eta, u, c, T3, lambd, mc)
14
15 print(f"Estimated probability of ruin for T={T1}: {estim1}")
16 print(f"Estimated probability of ruin for T={T2}: {estim2}")
17 print(f"Estimated probability of ruin for T={T3}: {estim3}")
18 print(f"Probability of ruin from Pollaczek-Khinchine formula: {pc}")
19
20 Estimated probability of ruin for T=5: 0.019
21 Estimated probability of ruin for T=1000: 0.04
22 Estimated probability of ruin for T=10000: 0.053
23 Probability of ruin from Pollaczek-Khinchine formula:
    0.0410424993119494
```

6.3 Część druga

Aby przeprowadzić drugą część zadania, sporządzono wykresy funkcji $u \mapsto \psi(u, c_0)$ dla ustalonych c_0 oraz $c \mapsto \psi(u_0, c)$ dla ustalonych u_0 (kilka trajektorii na jednym wykresie) i porównano je z wartościami wyestymowanymi. Wykonano następujące kroki:

- Zdefiniowano zakresy i liczby punktów dla parametrów c_0 , c , oraz u_0 , u .
- Obliczono teoretyczne wartości prawdopodobieństwa ruiny za pomocą wzoru Pollaczka-Khinchina dla różnych wartości c_0 i u_0 .
- Zasymulowano prawdopodobieństwo ruiny kapitału metodą Monte Carlo dla różnych wartości c_0 i u_0 za pomocą funkcji `ruin_prob_estim`.
- Sporządzono wykresy zależności $u \mapsto \psi(u, c_0)$ dla różnych wartości c_0 oraz $c \mapsto \psi(u_0, c)$ dla różnych wartości u_0 , porównując wartości teoretyczne z wyestymowanymi.

```
1 # Ranges and number of points for the parameter c0
2 c0_min = 2 # Minimum value of the parameter c0
3 c0_max = 4 # Maximum value of the parameter c0
```

```
4 dc0 = 5 # Number of equally spaced points between c0_min and c0_max
5 c0s = np.linspace(c0_min, c0_max, dc0) # Array of c0 values
6
7 # Ranges and number of points for the parameter c
8 c_min = 1 # Minimum value of the parameter c
9 c_max = 100 # Maximum value of the parameter c
10 dc = 100 # Number of equally spaced points between c_min and c_max
11 cs = np.linspace(c_min, c_max, dc) # Array of c values
12
13 # Ranges and number of points for the parameter u0
14 u0_min = 1 # Minimum value of the parameter u0
15 u0_max = 10 # Maximum value of the parameter u0
16 du0 = 5 # Number of equally spaced points between u0_min and u0_max
17 u0s = np.linspace(u0_min, u0_max, du0) # Array of u0 values
18
19 # Ranges and number of points for the parameter u
20 u_min = 2 # Minimum value of the parameter u
21 u_max = 10 # Maximum value of the parameter u
22 du = 100 # Number of equally spaced points between u_min and u_max
23 us = np.linspace(u_min, u_max, du) # Array of u values

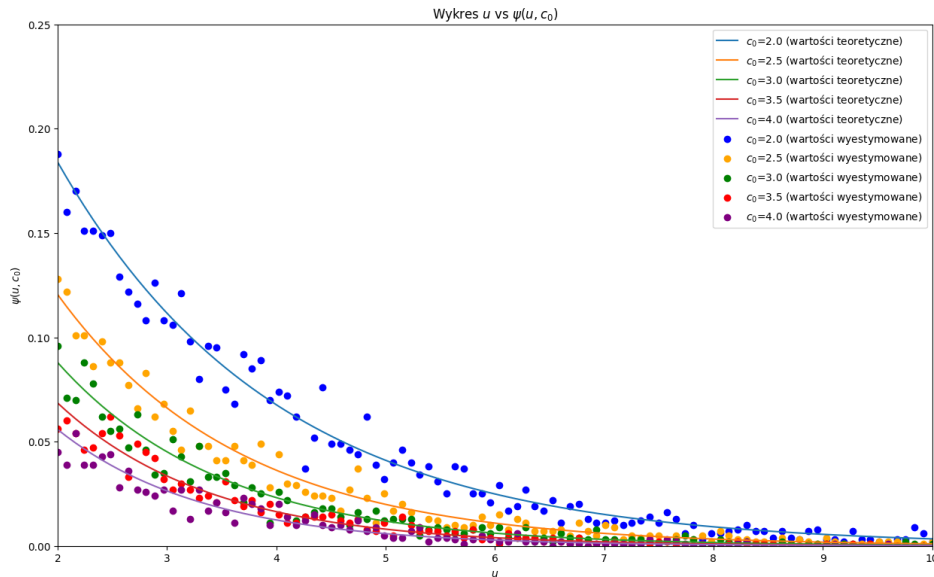
1 # Generate results for each element in c0s
2 pcs_list = [pollaczec_khinchine(us, c, eta, lambd) for c in c0s]
3
4 # Unpack the results into variables pcs1, pcs2, pcs3, pcs4, pcs5
5 pcs1, pcs2, pcs3, pcs4, pcs5 = pcs_list

1 # Initialize simulation arrays
2 sim = np.zeros((10, du))
3
4 # Loop to calculate ruin_prob_estim for different values
5 for i in range(du):
6     for j in range(5):
7         sim[j, i] = ruin_prob_estim(eta, us[i], c0s[j], 30, lambd, mc)
8     for j in range(5, 10):
9         sim[j, i] = ruin_prob_estim(eta, u0s[j - 5], cs[i], 30, lambd,
10                                     mc)
11
12 # Assign the results to corresponding variables
13 sim1, sim2, sim3, sim4, sim5, sim6, sim7, sim8, sim9, sim10 = sim
14
15 plt.figure(figsize=(15, 9))
16 plt.plot(
17     us,
18     list(zip(pcs1, pcs2, pcs3, pcs4, pcs5)),
19     label=[
20         f"$c_0$={c0s[0]} (theoretical values)",
21         f"$c_0$={c0s[1]} (theoretical values)",
```

```

21         f"$c_0$={c0s[2]} (theoretical values)",
22         f"$c_0$={c0s[3]} (theoretical values)",
23         f"$c_0$={c0s[4]} (theoretical values)",
24     ],
25 )
26 plt.scatter(us, sim1, color="blue", label=f"$c_0$={c0s[0]} (estimated
    values)")
27 plt.scatter(us, sim2, color="orange", label=f"$c_0$={c0s[1]} (
    estimated values)")
28 plt.scatter(us, sim3, color="green", label=f"$c_0$={c0s[2]} (estimated
    values)")
29 plt.scatter(us, sim4, color="red", label=f"$c_0$={c0s[3]} (estimated
    values)")
30 plt.scatter(us, sim5, color="purple", label=f"$c_0$={c0s[4]} (
    estimated values)")
31 plt.legend(loc="best")
32 plt.title("Plot of  $u$  vs  $\psi(u, c_0)$ ")
33 plt.xlabel(" $u$ ")
34 plt.ylabel(" $\psi(u, c_0)$ ")
35 ax = plt.gca()
36 ax.set_xlim([2, 10])
37 ax.set_ylim([0, 0.25])
38 plt.show()

```

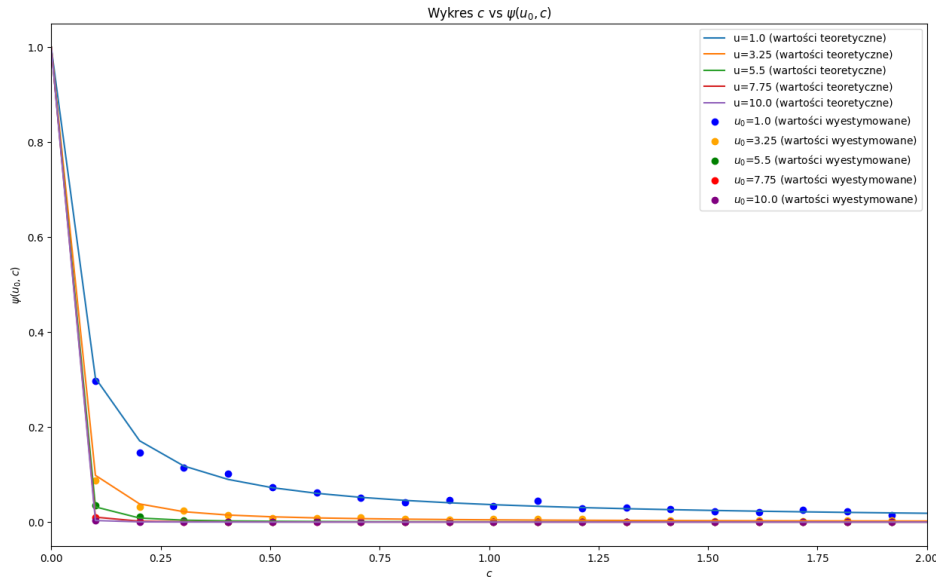
Rysunek 13: Wykres u vs $\psi(u, c_0)$

```

1     # Generate results for each element in u0s
2     pcs_list = [pollaczeck_khinchine(u, cs, eta, lambd) for u in u0s]

```

```
3
4 # Unpack the results into variables pcs6, pcs7, pcs8, pcs9, pcs10
5 pcs6, pcs7, pcs8, pcs9, pcs10 = pcs_list
6
7 us2 = np.linspace(0, 10, 100)
8 plt.figure(figsize=(15, 9))
9 plt.plot(
10     us2,
11     list(zip(pcs6, pcs7, pcs8, pcs9, pcs10)),
12     label=[
13         f"u={u0s[0]} (theoretical values)",
14         f"u={u0s[1]} (theoretical values)",
15         f"u={u0s[2]} (theoretical values)",
16         f"u={u0s[3]} (theoretical values)",
17         f"u={u0s[4]} (theoretical values)",
18     ],
19 )
20 plt.scatter(
21     us2[1::], sim6[1::], color="blue", label=f"$u_0$={u0s[0]} (
22         estimated values)"
23 )
24 plt.scatter(
25     us2[1::], sim7[1::], color="orange", label=f"$u_0$={u0s[1]} (
26         estimated values)"
27 )
28 plt.scatter(
29     us2[1::], sim8[1::], color="green", label=f"$u_0$={u0s[2]} (
30         estimated values)"
31 )
32 plt.scatter(
33     us2[1::], sim9[1::], color="red", label=f"$u_0$={u0s[3]} (
34         estimated values)"
35 )
36 plt.scatter(
37     us2[1::],
38     sim10[1::],
39     color="purple",
40     label=f"$u_0$={u0s[4]} (estimated values)",
41 )
42 plt.legend(loc="best")
43 plt.title("Plot of $c$ vs $\psi(u_0, c)$")
44 plt.xlabel("$c$")
45 plt.ylabel("$\psi(u_0, c)$")
46 ax = plt.gca()
47 ax.set_xlim([0, 2])
48 plt.show()
```


Rysunek 14: Wykres c vs $\psi(u_0, c)$

6.4 Część trzecia

Aby zweryfikować symulacyjnie wyniki dla odwróconego wzoru Pollaczka-Khinchina, skorzystamy z wyznaczonego wzoru:

$$c(u, \psi) = \frac{\lambda u}{W_0\left(\frac{u\psi e^{u/\eta}}{\eta}\right)},$$

gdzie W_0 to gałąź funkcji W Lamberta zdefiniowana poprzez równanie $W_0(xe^x) = x$ dla $x \geq 0$. Ta analiza odpowiada szukaniu wymaganej wartości wpłat przy danym kapitale początkowym w celu osiągnięcia wymaganego prawdopodobieństwa ruiny. Wykonano następujące kroki:

- Zaimplementowano odwrócony wzór Pollaczka-Khinchina do obliczenia wartości parametru systemowego `inv_Poll`.
- Obliczono wartości parametru c dla różnych wartości ψ_0 .
- Wyestymowano wartości parametru składki c za pomocą funkcji `estimation`.
- Porównano teoretyczne wartości parametru c z wartościami wyestymowanymi i sporządzono odpowiednie wykresy.

```
1 def inv_Poll(u: float, psi: float, lambd: float, eta: float) ->
2     float:
3     """
4     Implementation of the inverse Pollaczek-Khinchine formula to
5     calculate the system parameter value.
6
7     The inverse Pollaczek-Khinchine formula is used to calculate the
8     system parameter 'w',
9     which can be utilized for financial risk analysis.
10
11     Parameters:
12     u (float): Initial capital.
13         - Must be positive.
14     psi (float): System parameter value.
15         - Must be positive.
16     lambd (float): Intensity of the Poisson process (average event
17         frequency).
18         - Must be positive.
19     eta (float): Average claim value.
20         - Must be positive.
21
22     Returns:
23     float: Calculated system parameter value 'w'.
24
25     Example usage:
26     >>> u = 10
27     >>> psi = 0.5
28     >>> lambd = 1
29     >>> eta = 2
30     >>> w = inv_Poll(u, psi, lambd, eta)
31     >>> print(w) # result: 2.2582133353406615
32
33     """
34     w = scipy.special.lambertw(u * psi * np.exp(u / eta) / eta).real
35     return lambd * u / w
```

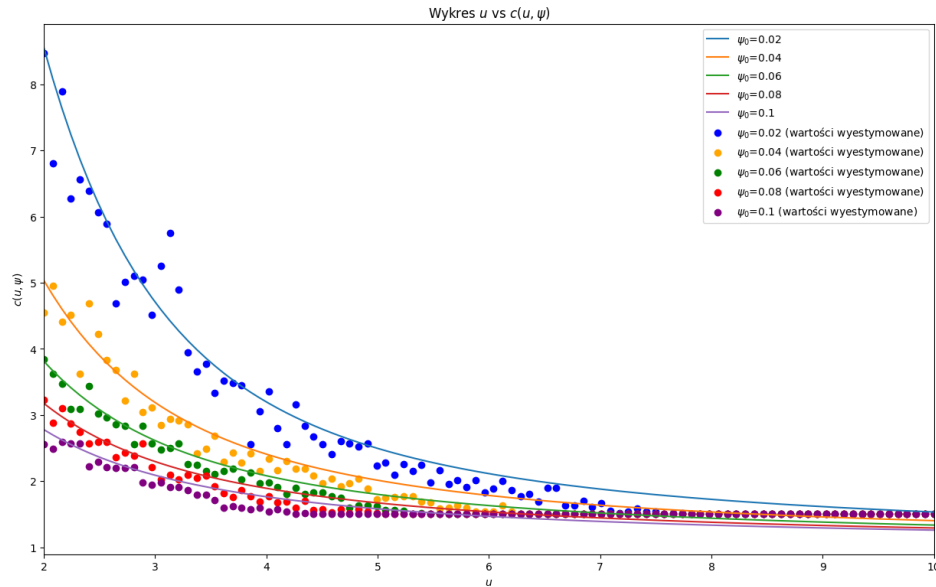
```
1 # Ranges and number of points for the parameter psi0
2 psi0_min = 0.02 # Minimum value of the parameter psi0
3 psi0_max = 0.1 # Maximum value of the parameter psi0
4 dpsi0 = 5 # Number of evenly spaced points between psi0_min and
5     psi0_max
6 psi0s = np.linspace(psi0_min, psi0_max, dpsi0) # Array of psi0 values
7
8 # Generating results for each element in psi0s
9 cs_list = [inv_Poll(us, psi, lambd, eta) for psi in psi0s]
10
11 # Unpacking results into variables cs1, cs2, cs3, cs4, cs5
12 cs1, cs2, cs3, cs4, cs5 = cs_list
```

```
1  def estimation(  
2  T: float,  
3  n: int,  
4  u_vector: np.ndarray,  
5  c_test: np.ndarray,  
6  psi: float,  
7  lambd: float = 1,  
8  eta: float = 1,  
9  ) -> np.ndarray:  
10     """  
11     Estimation of the premium parameter 'c' using the bisection method  
12         based on the given ruin probability 'psi'.  
13  
14     The function iteratively estimates the premium parameter 'c' for  
15         various initial capitals 'u' using  
16         the bisection method to achieve the target ruin probability 'psi'  
17         in a Monte Carlo simulation.  
18  
19     Parameters:  
20         T (float): Simulation duration.  
21             - Must be positive.  
22         n (int): Number of Monte Carlo simulations for each case.  
23             - Must be positive.  
24         u_vector (np.ndarray): Array containing different initial  
25             capitals 'u' for which the premium 'c' is estimated.  
26         c_test (np.ndarray): Array containing possible values of the  
27             premium parameter 'c' to test using the bisection method.  
28         psi (float): Target ruin probability.  
29             - Must be positive.  
30         lambd (float, optional): Intensity of the Poisson process (  
31             mean event frequency). Default is 1.  
32             - Must be positive.  
33         eta (float, optional): Average claim value. Default is 1.  
34             - Must be positive.  
35  
36     Returns:  
37         np.ndarray: Array containing the estimated premium values 'c'  
38             for each initial capital 'u' from 'u_vector'.  
39  
40     Example usage:  
41     >>> T = 10  
42     >>> n = 10000  
43     >>> u_vector = np.array([10, 20, 30])  
44     >>> c_test = np.linspace(0.1, 2.0, 100)  
45     >>> psi = 0.1  
46     >>> estimated_c_values = estimation(T, n, u_vector, c_test,  
47                                         psi)
```

```
40 >>> print(estimated_c_values) # result: [0.53417969
    0.10371094 0.10371094]
41 """
42 cs = np.zeros(len(u_vector)) # Initialize array for estimated
    premium values 'c'
43
44 # Iterate over different initial capitals 'u'
45 for i, u in enumerate(u_vector):
46     c_low, c_high = c_test[0], c_test[-1] # Initial lower and
        upper bounds for premium 'c'
47
48     # Continue loop while the difference between upper and lower
        bounds is greater than 0.01
49     while c_high - c_low > 0.01:
50         c_mid = (c_low + c_high) / 2 # Midpoint value of premium
            'c'
51         psi_test = ruin_prob_estim(eta, u, c_mid, T, lambd, n) #
            Estimate ruin probability for premium 'c_mid'
52
53         # Decrease lower bound if the estimated psi is greater
            than the target 'psi'
54         if psi_test > psi:
55             c_low = c_mid
56         else:
57             c_high = c_mid # Otherwise, increase upper bound
58
59         cs[i] = (c_low + c_high) / 2 # Set the midpoint value as the
            estimated premium 'c' for capital 'u'
60
61     return cs # Return array of estimated premium values 'c' for each
        'u'
```

```
1 # Parameter definitions
2 c_test = np.linspace(1.5, 10, 100)
3 T = 10
4
5 # Estimating the value of parameter c for different values of psi0s
6 c_empiric_list = [estimation(T, 1000, us, c_test, psi) for psi in
    psi0s]
7
8 # Unpacking results into variables c_1_empiric, c_2_empiric,
    c_3_empiric, c_4_empiric, c_5_empiric
9 c_1_empiric, c_2_empiric, c_3_empiric, c_4_empiric, c_5_empiric =
    c_empiric_list
10
11 plt.figure(figsize=(15, 9))
12 plt.plot(
13     us,
```

```
14     list(zip(cs1, cs2, cs3, cs4, cs5)),
15     label=[
16         f"$\psi_0$={psi0s[0]}",
17         f"$\psi_0$={psi0s[1]}",
18         f"$\psi_0$={psi0s[2]}",
19         f"$\psi_0$={psi0s[3]}",
20         f"$\psi_0$={psi0s[4]}",
21     ],
22 )
23 plt.scatter(
24     us, c_1_empiric, color="blue", label=f"$\psi_0$={psi0s[0]} (
25         estimated values)"
26 )
27 plt.scatter(
28     us,
29     c_2_empiric,
30     color="orange",
31     label=f"$\psi_0$={psi0s[1]} (estimated values)",
32 )
33 plt.scatter(
34     us, c_3_empiric, color="green", label=f"$\psi_0$={psi0s[2]} (
35         estimated values)"
36 )
37 plt.scatter(
38     us, c_4_empiric, color="red", label=f"$\psi_0$={psi0s[3]} (
39         estimated values)"
40 )
41 plt.scatter(
42     us,
43     c_5_empiric,
44     color="purple",
45     label=f"$\psi_0$={psi0s[4]} (estimated values)",
46 )
47 plt.legend(loc="best")
48 plt.title("Plot $u$ vs $c(u, \psi)$")
49 plt.xlabel("$u$")
50 plt.ylabel("$c(u, \psi)$")
51 ax = plt.gca()
52 ax.set_xlim([2, 10])
53 plt.show()
```

Rysunek 15: Wykres u vs $c(u, \psi)$

6.5 Wnioski

W zadaniu piątym analizowaliśmy proces ruiny kapitału w modelu Cramera-Lundberga oraz estymowaliśmy wartości składki potrzebnej do osiągnięcia określonego prawdopodobieństwa ruiny. Poniżej przedstawiono główne wnioski z poszczególnych części zadania:

6.5.1 Część pierwsza

W części pierwszej przeanalizowaliśmy prawdopodobieństwo ruiny w czasie skończonym T oraz porównaliśmy wyniki symulacyjne z teoretycznymi wartościami uzyskanymi z wzoru Pollaczka-Chinczyna:

- Wygenerowano proces Poissona za pomocą funkcji `poisson_process`.
- Zasymulowano proces ruiny kapitału za pomocą funkcji `proces_ruiny`.
- Obliczono teoretyczne prawdopodobieństwo ruiny za pomocą wzoru Pollaczka-Khinchina.
- Estymowano prawdopodobieństwo ruiny metodą Monte Carlo za pomocą funkcji `ruin_prob_estim`.

- Porównano wyniki symulacji z wartościami teoretycznymi, uzyskując zgodność wyników, co potwierdziło poprawność zaimplementowanych metod.

6.5.2 Część druga

W części drugiej sporządzono wykresy funkcji $u \mapsto \psi(u, c_0)$ oraz $c \mapsto \psi(u_0, c)$ i porównano wartości teoretyczne z wyestymowanymi:

- Zdefiniowano zakresy i liczby punktów dla parametrów c_0 , c , u_0 i u .
- Obliczono teoretyczne wartości prawdopodobieństwa ruiny za pomocą wzoru Pollaczka-Khinchina dla różnych wartości c_0 i u_0 .
- Zasymulowano prawdopodobieństwo ruiny kapitału metodą Monte Carlo dla różnych wartości c_0 i u_0 za pomocą funkcji `ruin_prob_estim`.
- Sporządzono wykresy zależności $u \mapsto \psi(u, c_0)$ oraz $c \mapsto \psi(u_0, c)$, porównując wartości teoretyczne z wyestymowanymi.
- Wyniki wykazały zgodność pomiędzy wartościami teoretycznymi a wyestymowanymi, co potwierdziło poprawność zastosowanych metod symulacyjnych.

6.5.3 Część trzecia

W części trzeciej zweryfikowano wyniki dla odwróconego wzoru Pollaczka-Khinchina:

- Zaimplementowano odwrócony wzór Pollaczka-Khinchina do obliczenia wartości parametru systemowego za pomocą funkcji `inv_Poll`.
- Obliczono wartości parametru składki c dla różnych wartości ψ_0 .
- Wyestymowano wartości parametru składki c za pomocą funkcji `estimation`.
- Porównano teoretyczne wartości parametru c z wartościami wyestymowanymi i sporządzono odpowiednie wykresy.
- Wyniki pokazały zgodność pomiędzy wartościami teoretycznymi a wyestymowanymi, co potwierdziło poprawność zastosowanych metod oraz modeli.

Podsumowując, przeprowadzone analizy i symulacje potwierdziły teoretyczne modele dotyczące procesu ruiny kapitału oraz estymacji wartości składki potrzebnej do osiągnięcia określonego prawdopodobieństwa ruiny. Wyniki symulacji były zgodne z przewidywaniami teoretycznymi, co świadczy o poprawności zastosowanych metod oraz modeli. Zadanie to pozwoliło na praktyczne zweryfikowanie teoretycznych koncepcji za pomocą symulacji komputerowych.

7 Zad 6.

W tym zadaniu skupimy się na symulacji procesu Wienera.

7.1 Wstęp.

Prawa Arcusa Sinusa, oraz Ruch Browna(Proces Wienera).

Proces Wienera, znany również jako ruchy Browna, jest fundamentalnym modelem matematycznym w teorii probabilistycznej i analizie stochastycznej. Jego nazwa pochodzi od amerykańskiego matematyka Norberta Wienera. Proces Wienera jest używany do modelowania przypadkowych ruchów w przestrzeni i ma zastosowanie w różnych dziedzinach nauki, w tym w fizyce, finansach, biologii i inżynierii.

Wyniki uzyskane podczas symulacji zaprezentowane są na wykresach 4-6.

7.2 Proces Wienera.

Matematycznie proces Wienera $\{W(t), t \geq 0\}$ spełnia następujące warunki:

$$W(0) = 0,$$

$$W(t) - W(s) \sim N(0, t - s) \text{ dla } 0 \leq s \leq t,$$

Proces $W(t)$ ma ciągłe trajektorie.

Rozkład arcsinusowy na przedziale $[0, 1]$ ma funkcję gęstości daną wzorem:

$$p_X(x) = \frac{1}{x\sqrt{x(1-x)}} 1(x),$$

dla $x \in (0, 1)$. Jest on charakterystyczny tym, że jego wartości są skoncentrowane przy

krańcach przedziału, czyli wokół 0 i 1.

Proces Wienera posiada własność, że różnice jego wartości w dwóch różnych momentach czasu są z rozkładu normalnego (Gaussa) ze średnią równą zero i wariancją równą różnicy czasu między tymi punktami. To pozwala na stosowanie narzędzi analizy statystycznej do badania takich procesów.

7.3 Opis Metod.

Pierwsze prawo arcsinusów:

Twierdzenie:

$$T_+ = \lambda(\{t \in [0, 1] \mid W_t > 0\}) \sim \arcsin,$$

gdzie λ to miara Lebesgue'a. Oznacza to, że czas, który proces Wienera spędza powyżej osi OX na przedziale $[0, 1]$, ma rozkład arcsinusowy.

Jeśli W_t to standardowy proces Wienera na przedziale $[0, 1]$, to czas, który proces spędza powyżej osi OX (czyli czas, w którym $W_t > 0$), ma rozkład arcsinusowy. Rozkład arcsinusowy jest skoncentrowany przy krańcach przedziału, co oznacza, że proces Wienera spędza większość czasu albo blisko początku, albo blisko końca przedziału powyżej osi OX, rzadziej zaś w jego środkowej części.

Drugie prawo arcsinusów:

Twierdzenie:

$$L = \sup\{t \in [0, 1] \mid W_t = 0\} \sim \arcsin.$$

Inaczej mówiąc, ostatni moment uderzenia procesu Wienera na odcinku $[0, 1]$ w oś OX ma rozkład arcusa sinusa.

W kontekście procesu Wienera, L jest ostatnim czasem, w którym proces W_t osiąga wartość zero na przedziale $[0, 1]$. To twierdzenie mówi, że ten ostatni czas ma rozkład arcsinusowy. Znow, ze względu na własności rozkładu arcsinusowego, ten czas jest bardziej prawdopodobny bliżej krańców przedziału niż w jego środku.

Trzecie prawo arcsinusów:

Twierdzenie:

Niech M będzie liczbą spełniającą:

$$W_M = \sup\{W_t \mid t \in [0, 1]\},$$
$$T_M = \sup\{t \in [0, 1] \mid W_t = \max_{s \in [0, 1]} W_s\} \sim \arcsin.$$

Wtedy $M \sim \arcsin$. Oznacza to, że moment osiągnięcia maksymalnej wartości przez proces Wienera na odcinku $[0, 1]$ ma rozkład arcusa sinusa.

W kontekście procesu Wienera, T_M jest czasem, w którym proces osiąga swoją maksymalną wartość na przedziale $[0, 1]$. To twierdzenie mówi, że ten czas ma rozkład arcsinusowy, co oznacza, że proces Wienera ma większą tendencję do osiągania swojej maksymalnej wartości bliżej początku lub końca przedziału, niż w jego środku.

7.4 Sktypty w Pythonie.

```
1 import numpy as np
2 import matplotlib.pyplot as plt
3 from scipy.stats import arcsine
4
5 # Liczba symulacji
6 n_simulations = 10000
7 n_steps = 1000
8 t = np.linspace(0, 1, n_steps + 1)
9
10 # Funkcja generująca proces Wienera
11 def generate_wiener_process(n_steps: int) -> np.ndarray:
12     """
13     Generuje Proces Wienera.
14
15     Args:
16         n_steps (int): Liczba kroków w procesie.
17
18     Returns:
19         np.ndarray: Wsymulowany proces Wienera
20     """
21     dt = 1 / n_steps
```

```
22     dW = np.random.normal(0, np.sqrt(dt), n_steps)
23     W = np.concatenate(([0], np.cumsum(dW)))
24     return W
25
26 # Listy wynikowe
27 T_plus = []
28 L = []
29 M = []
30
31 # Generowanie wszystkich jednocześnie, ale każda wersja odpowiednio
   według swojej definicji
32 # Symulacja procesu Wienera oraz zbieranie danych
33
34 for _ in range(n_simulations):
35     # Generowanie procesu Wienera
36     W = generate_wiener_process(n_steps)
37
38     # Obliczanie T_+
39     T_plus.append(np.sum(W > 0) / n_steps)
40
41     # Znajdowanie punktów przecięcia z zerem
42     zero_crossings = np.where(np.diff(np.sign(W)))[0]
43
44     # Sprawdzenie czy istnieją punkty przecięcia z zerem
45     if zero_crossings.size > 0:
46         # Jeśli istnieją, dodaj ostatni czas przecięcia z zerem przed
           zakończeniem symulacji do listy L
47         L.append(t[zero_crossings[-1]])
48     else:
49         # Jeśli nie istnieją, dodaj 0 do listy L
50         L.append(0)
51
52     # Dodawanie czasu osiągnięcia maksimum do listy M
53     M.append(t[np.argmax(W)])
54
55 # Histogramy oraz dystrybuanty empiryczne i teoretyczne
56 fig, axs = plt.subplots(3, 2, figsize=(14, 7))
57
58 # Histogram dla T_+
59 axs[0, 0].hist(
60     T_plus, bins=50, density=True, alpha=0.6, color="coral", label="
       Empiryczny"
61 )
62 x = np.linspace(0, 1, 100)
63 axs[0, 0].plot(x, arcsine.pdf(x), "r-", lw=2, label="Teoretyczny")
64 axs[0, 0].set_title("Histogram T_+")
65 axs[0, 0].legend()
66
```

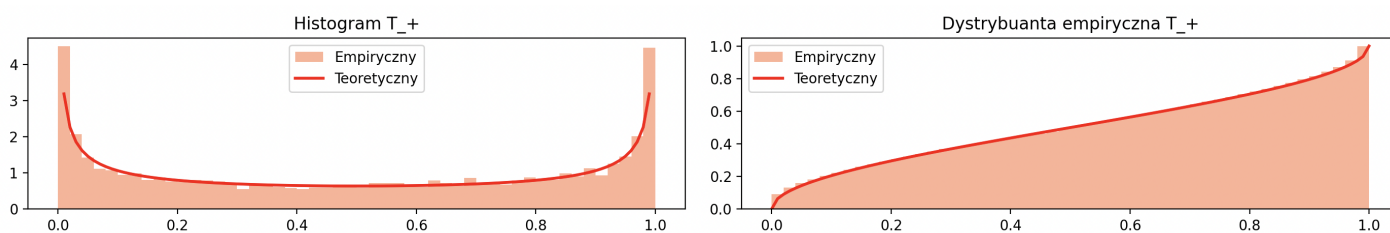
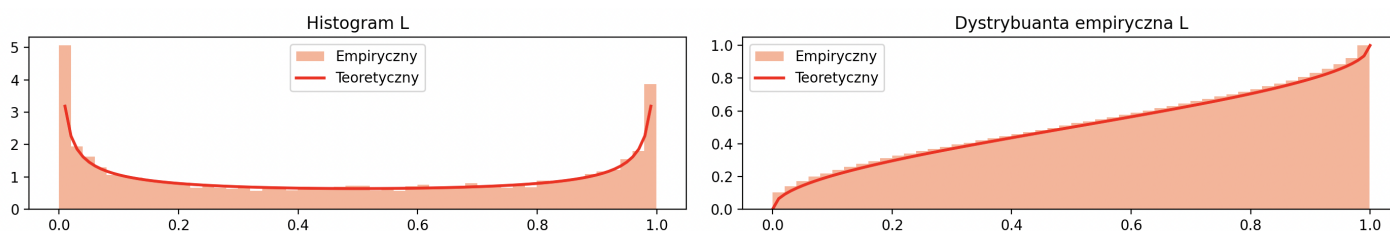
```
67 # Dystrybuanty dla T_+
68 axs[0, 1].hist(
69     T_plus,
70     bins=50,
71     density=True,
72     cumulative=True,
73     alpha=0.6,
74     color="coral",
75     label="Empiryczny",
76 )
77 axs[0, 1].plot(x, arcsine.cdf(x), "r-", lw=2, label="Teoretyczny")
78 axs[0, 1].set_title("Dystrybuanta_empiryczna_T_+")
79 axs[0, 1].legend()
80
81 # Histogram dla L
82 axs[1, 0].hist(L, bins=50, density=True, alpha=0.6, color="coral",
83     label="Empiryczny")
84 axs[1, 0].plot(x, arcsine.pdf(x), "r-", lw=2, label="Teoretyczny")
85 axs[1, 0].set_title("Histogram_L")
86 axs[1, 0].legend()
87
88 # Dystrybuanty dla L
89 axs[1, 1].hist(
90     L,
91     bins=50,
92     density=True,
93     cumulative=True,
94     alpha=0.6,
95     color="coral",
96     label="Empiryczny",
97 )
98 axs[1, 1].plot(x, arcsine.cdf(x), "r-", lw=2, label="Teoretyczny")
99 axs[1, 1].set_title("Dystrybuanta_empiryczna_L")
100 axs[1, 1].legend()
101
102 # Histogram dla M
103 axs[2, 0].hist(M, bins=50, density=True, alpha=0.6, color="coral",
104     label="Empiryczny")
105 axs[2, 0].plot(x, arcsine.pdf(x), "r-", lw=2, label="Teoretyczny")
106 axs[2, 0].set_title("Histogram_M")
107 axs[2, 0].legend()
108
109 # Dystrybuanty dla M
110 axs[2, 1].hist(
111     M,
112     bins=50,
113     density=True,
114     cumulative=True,
```

```

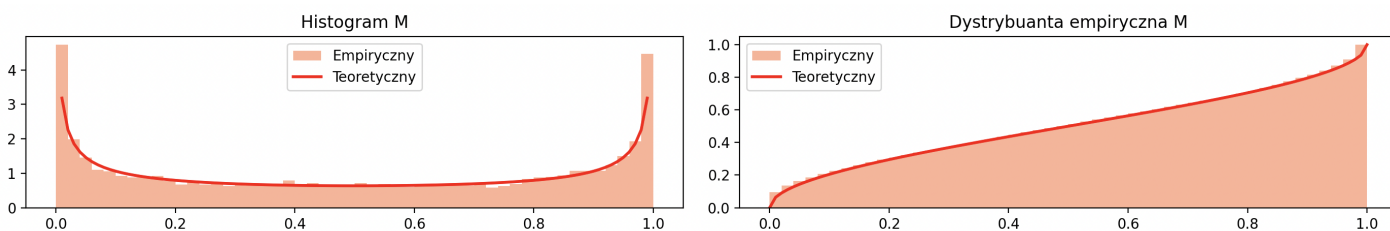
113     alpha=0.6,
114     color="coral",
115     label="Empiryczny",
116 )
117 axs[2, 1].plot(x, arcsine.cdf(x), "r-", lw=2, label="Teoretyczny")
118 axs[2, 1].set_title("Dystrybuanta empiryczna M")
119 axs[2, 1].legend()
120
121 plt.tight_layout()
122 plt.show()

```

Listing 11: Skrypt Zad 6.

Rysunek 16: Porównanie Wykresów Procesu T_+ 

Rysunek 17: Porównanie dla Procesu L.



Rysunek 18: Porównanie dla Procesu M.

Na wykresach widzimy, jak teoria mówiąca nam o rozłożeniu danych łączy się z empirycznymi wynikami symulacji.

7.5 Wnioski.

Prawa arcsinusów dostarczają głębokich intuicji na temat rozkładu czasu związanego z pewnymi kluczowymi zdarzeniami w procesie Wienera. Te prawa są szczególnie użyteczne w analizie właściwości procesów stochastycznych i są ważnymi narzędziami w probabilistyce oraz analizie finansowej, gdzie procesy Wienera często modelują ceny lub inne zjawiska losowe.

W finansach proces Wienera jest fundamentem modelowania dynamiki cen aktywów, np. w modelu Blacka-Scholesa do wyceny opcji. Jego własności, takie jak brak dryfu i skalowanie wariancji, czynią go użytecznym do modelowania nieprzewidywalnych zmian rynkowych, ale to temat do rozważenia na innym raporcie.